



コントラスト変調中性子小角散乱を用いた ソフトマター多成分系の精密構造解析

東京大学物性研究所
附属中性子科学研究施設

遠藤 仁

目次

1. コントラスト変調中性子小角散乱について
2. 界面における高分子の微細構造解析1
– マイクロエマルジョン中の両新媒性高分子 –
3. 界面における高分子の微細構造解析2
– ナノコンポジットゲル中の高分子鎖構造 –

コントラスト変調

中性子小角散乱法

中性子散乱

高分子科学における中性子散乱の果たした功績

高分子溶融体中の一本鎖の広がりはガウス統計に従う.

- Paul J. Flory: 1974年ノーベル化学賞
- Peter Debye: 高分子におけるDebye関数

高分子溶融体のダイナミクス

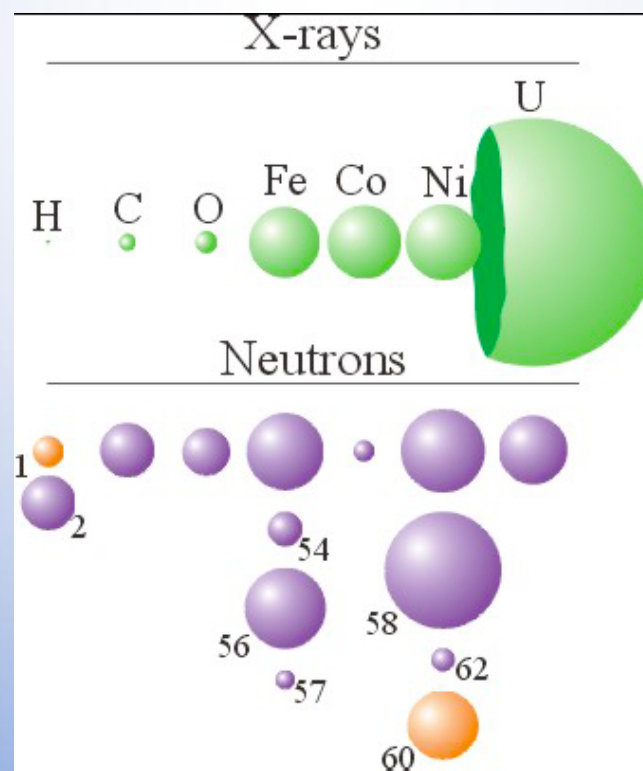
- deGennes, Doi & Edwards Model (Reptation Model)の検証.
中性子スピニエコー法による直接検証(at ILL in 1980's;
Richter, Mezei, etc.)
- deGennes: 1991年ノーベル物理学賞

高分子希薄溶液のダイナミクス

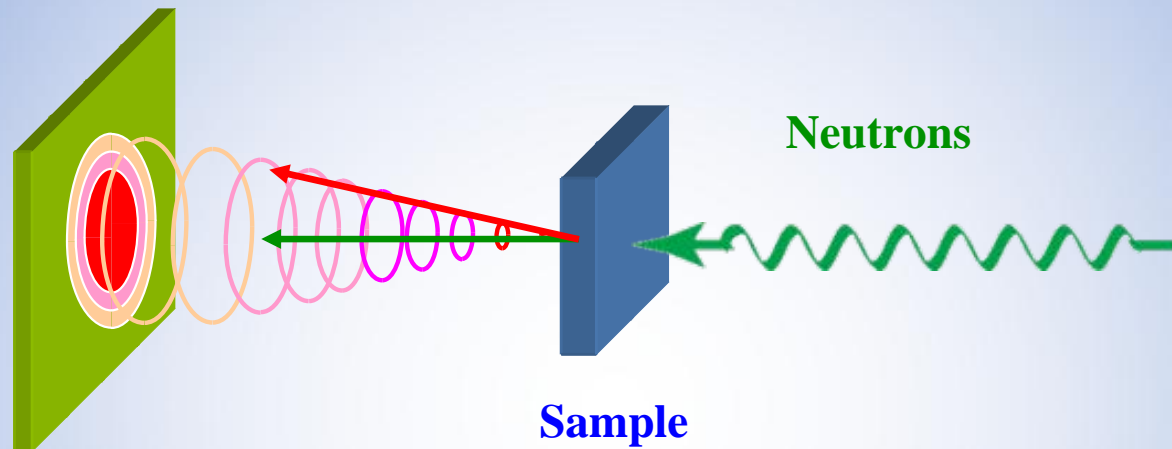
- 中性子スピニエコー法によるZimm Modelの直接検証(at ILL in
1980's; Higgins, Richter, etc.)

重水素標識

	b [$\times 10^{12}$ cm]	σ_{coh} [$\times 10^{24}$ cm]	σ_{inc} [$\times 10^{24}$ cm]
^1H	-0.374	1.76	79.7
^2D	0.667	5.59	2

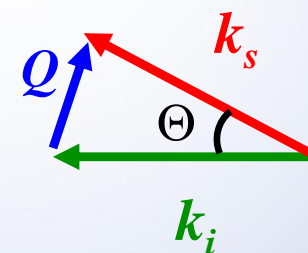


中性子小角散乱実験



Detector

$$| \mathbf{k}_i | = | \mathbf{k}_s | = 2\pi / \lambda$$

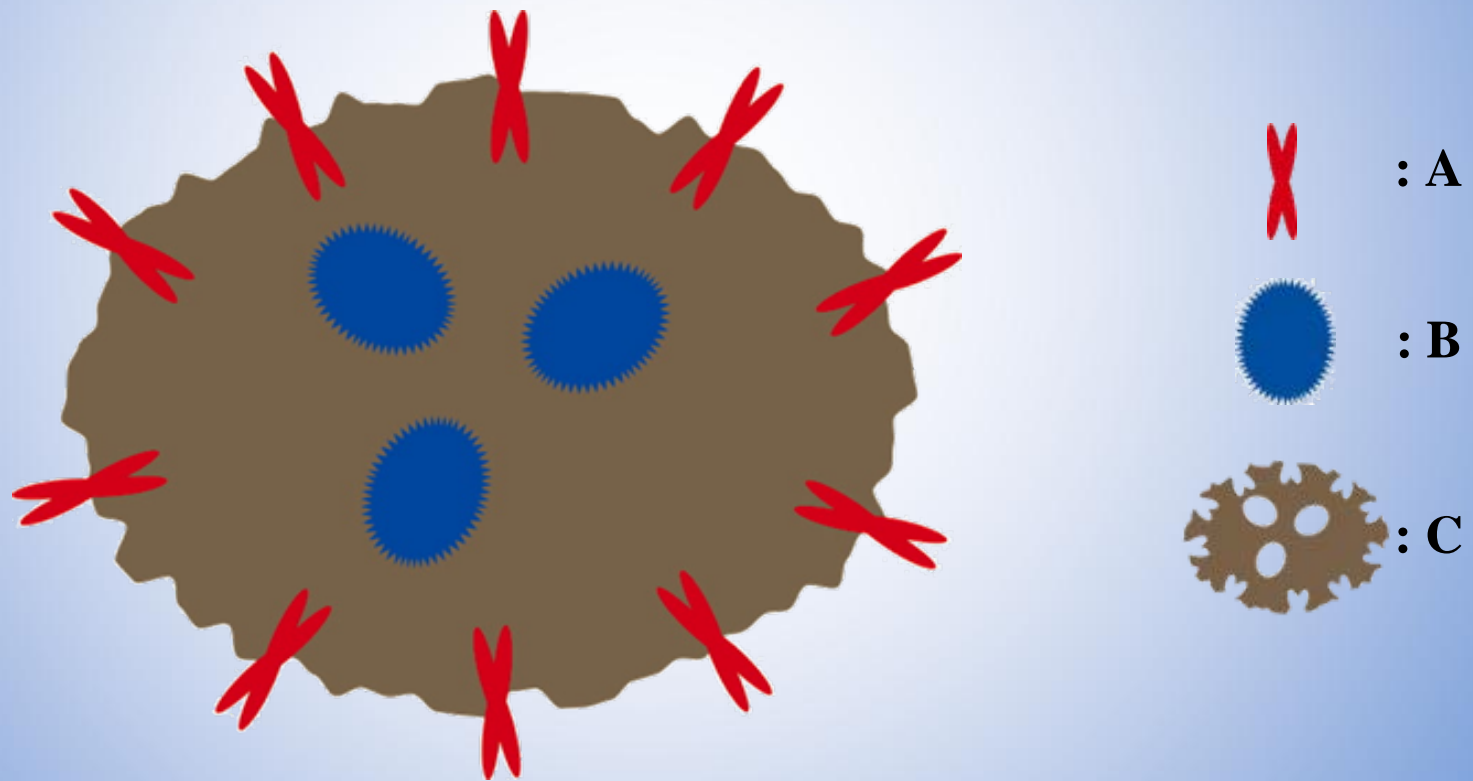


$$| \mathbf{Q} | = | \mathbf{k}_s - \mathbf{k}_i | = \frac{4\pi}{\lambda} \sin \frac{\Theta}{2}$$

\mathbf{k}_i : 入射波の波数ベクトル
 \mathbf{k}_s : 散乱波の波数ベクトル
 \mathbf{Q} : 散乱ベクトル

多成分系における中性子小角散乱実験

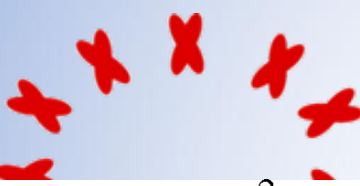
“どのように少量の小さい重要な成分を識別できるのか?”



多成分系からの散乱

“Self Terms”

S_{AA}



S_{CC}

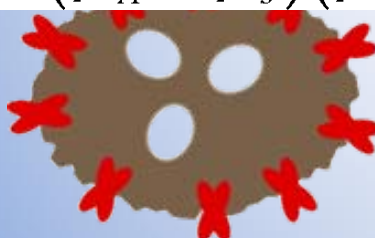


S_{BB}

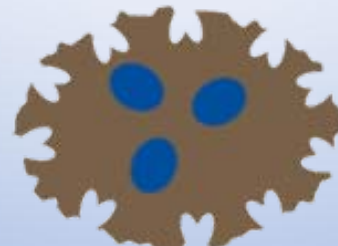


$$I(Q) = (\rho_A - \rho_s)^2 S_{AA}(Q) + (\rho_B - \rho_s)^2 S_{BB}(Q) + (\rho_C - \rho_s)^2 S_{CC}(Q) \\ + 2(\rho_A - \rho_s)(\rho_B - \rho_s)S_{AB}(Q) + 2(\rho_B - \rho_s)(\rho_C - \rho_s)S_{BC}(Q) \\ + 2(\rho_A - \rho_s)(\rho_C - \rho_s)S_{AC}(Q)$$

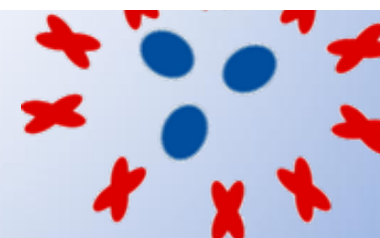
S_{AC}



S_{BC}



S_{AB}



“Cross Terms”

Contrast Matching

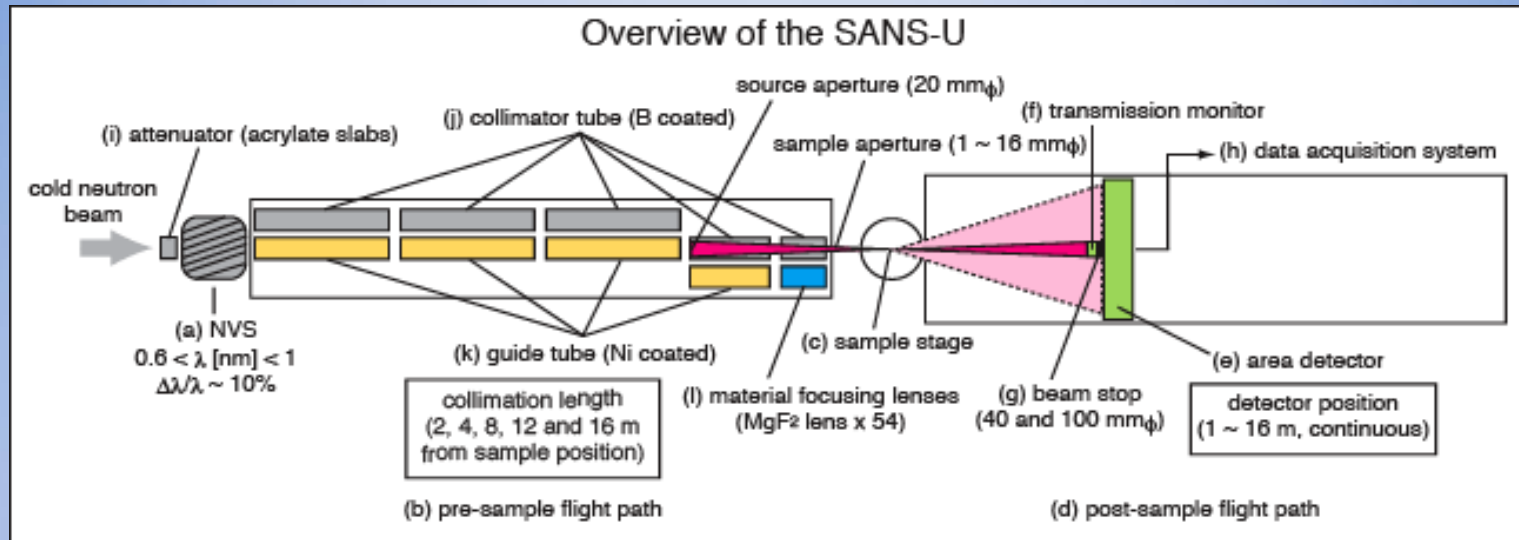
- › 多成分系への適用は困難.
- › 観測したい成分が微少の場合、完全な Matchingが必要.
- › “Cross Terms” が得られない.



Contrast Variation

中性子小角散乱

Small-Angle Neutron Scattering (SANS)



SANS-U

(ISSP, U-Tokyo@JAEA.Tokai.JP)

- wavelength; 7.0\AA

$(\Delta\lambda/\lambda = 0.10)$

- sample to detector distance;
 $1\text{m} \sim 16\text{m}$

<http://www.issp.u-tokyo.ac.jp/labs/neutron/>



界面における高分子の微細構造解析1 マイクロエマルジョン中の 両新媒性高分子

Effect of amphiphilic block copolymers on the structure and phase behavior of oil–water–surfactant mixtures

H. Endo, J. Allgaier, M. Monkenbusch,

D. Richter, G. Gompper

(*FZ-Jülich*)

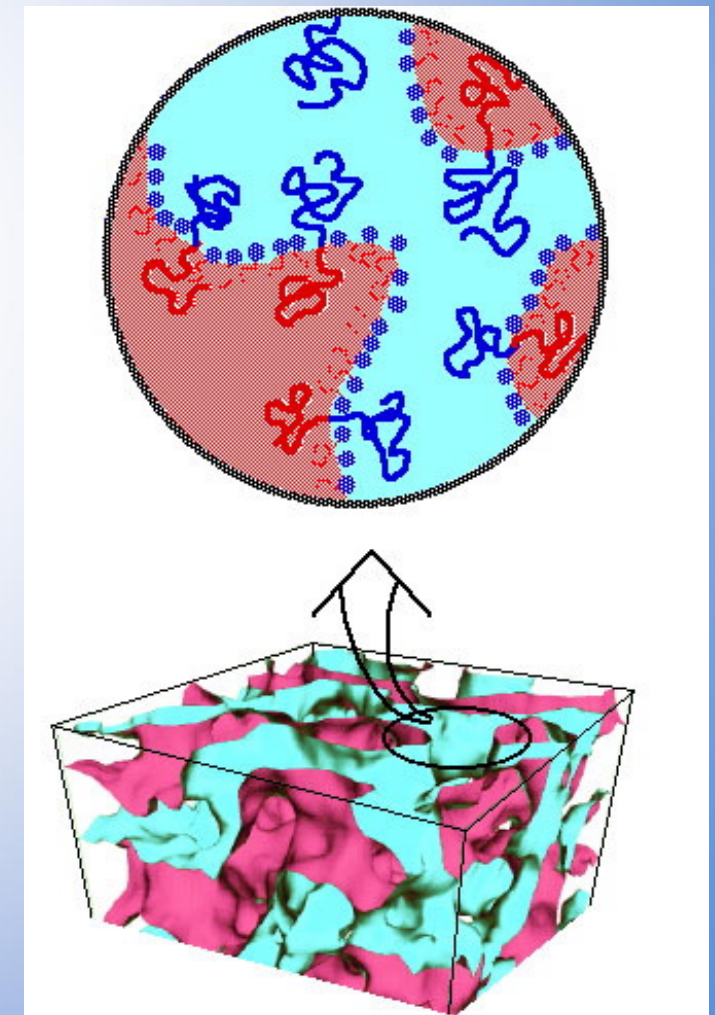
B. Jacobs, Th. Sottmann, R. Strey

(*Universität zu Köln*)

Phys. Rev. Lett. **85**, 102 (2000)

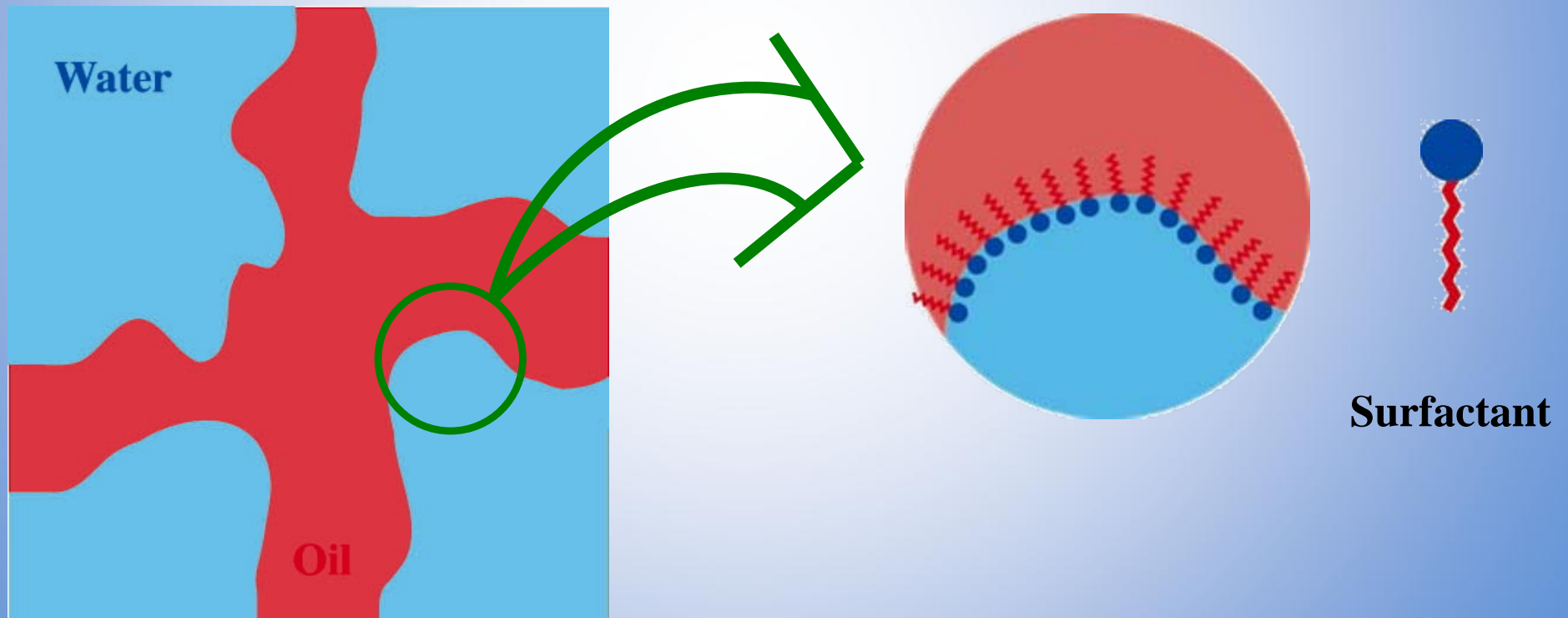
J. Chem. Phys. **115**, 580 (2001)

Eur. Phys. Lett. **56**, 683 (2001)



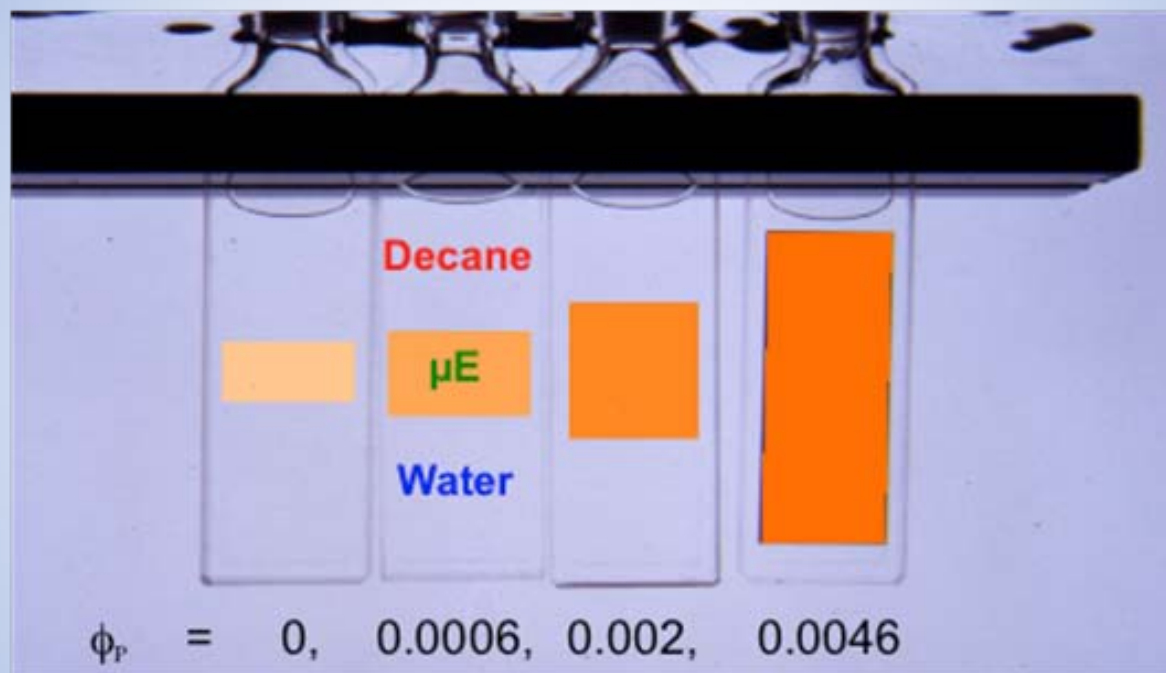
Microemulsion

Mixtures of **oil** and **water** mediated by surfactants



Polymer Boosting Effect

48% Oil, 48% Water, & 4% Surfactant



B. Jakobs et al., Langmuir **15**, (1999) 6707



Mw > 10 kg/mol



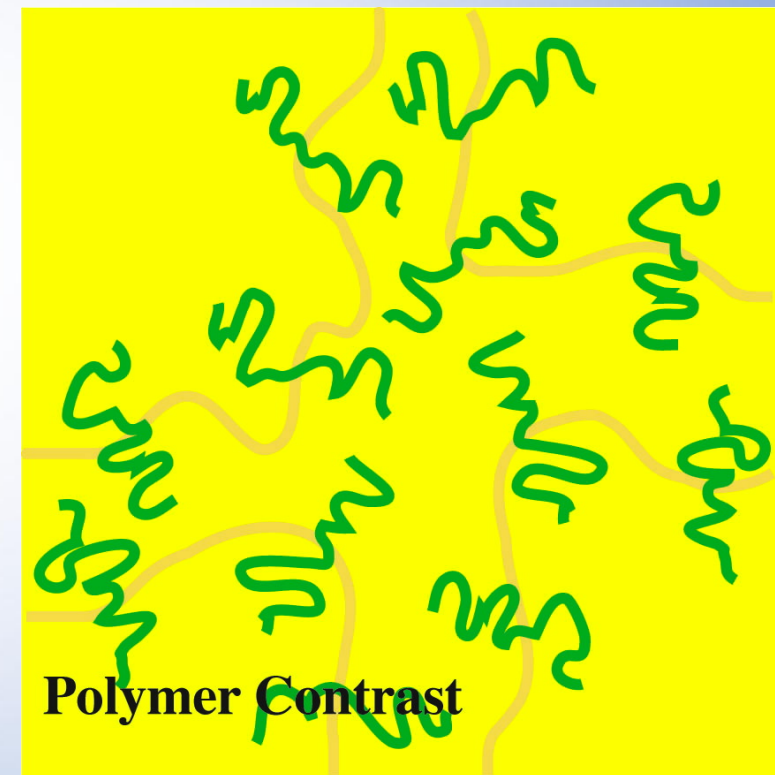
Mw = 0.335 kg/mol

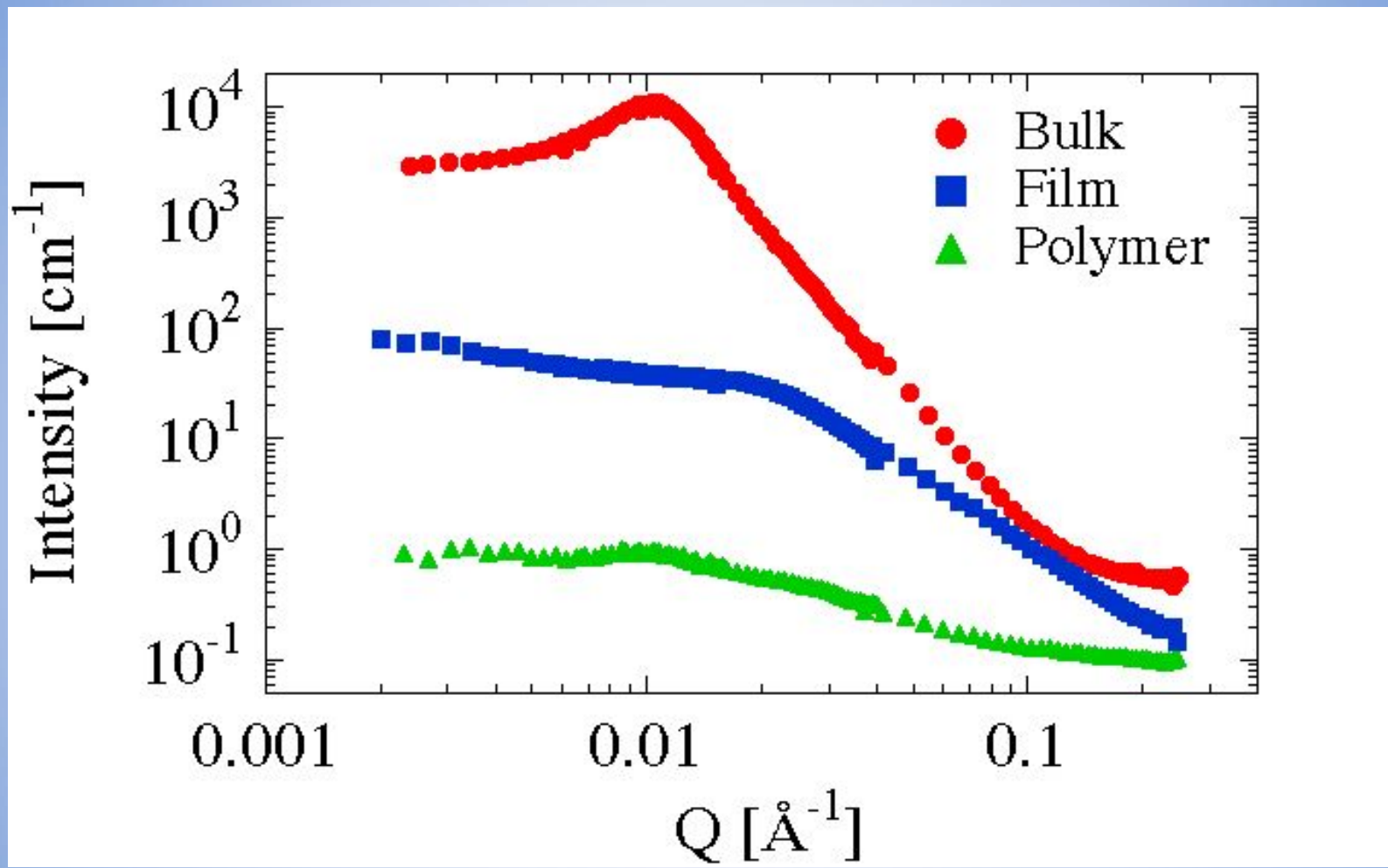
Contrast

d-Water and h-decane

d-Water, d-Decane
and h-Surfactant

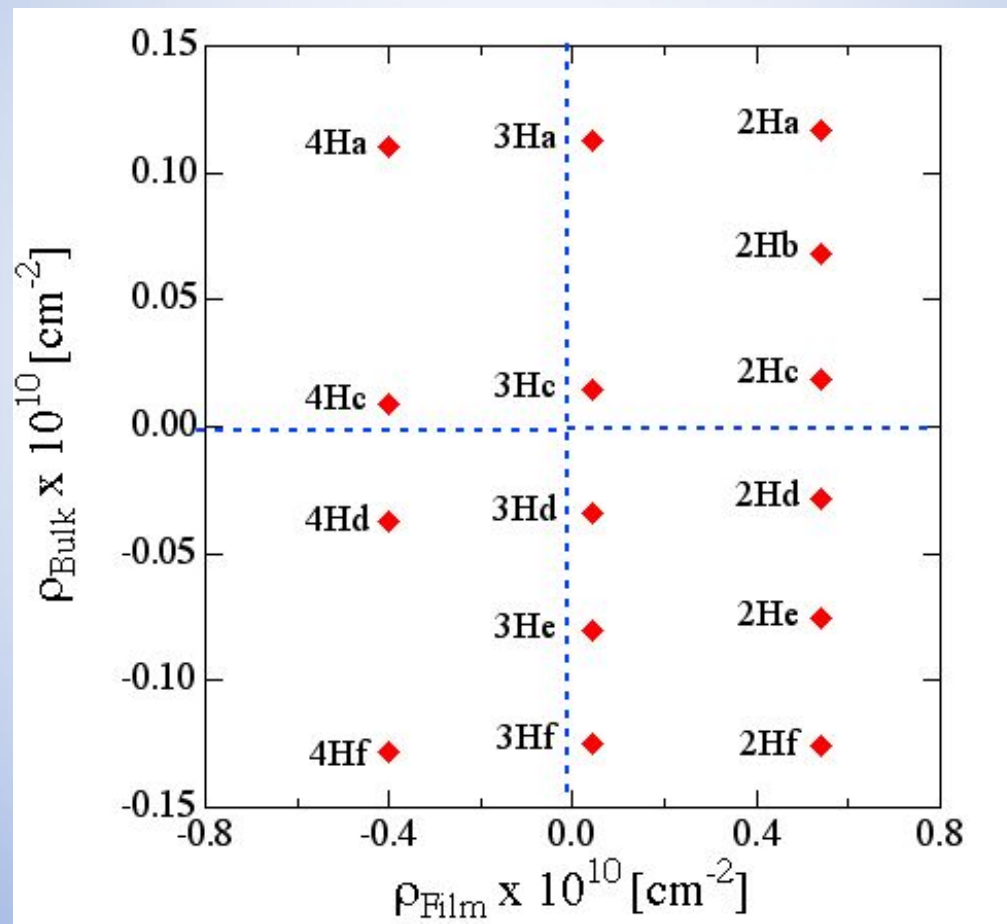
d-Water, d-Decane, d-Surfactant
and h-Polymer

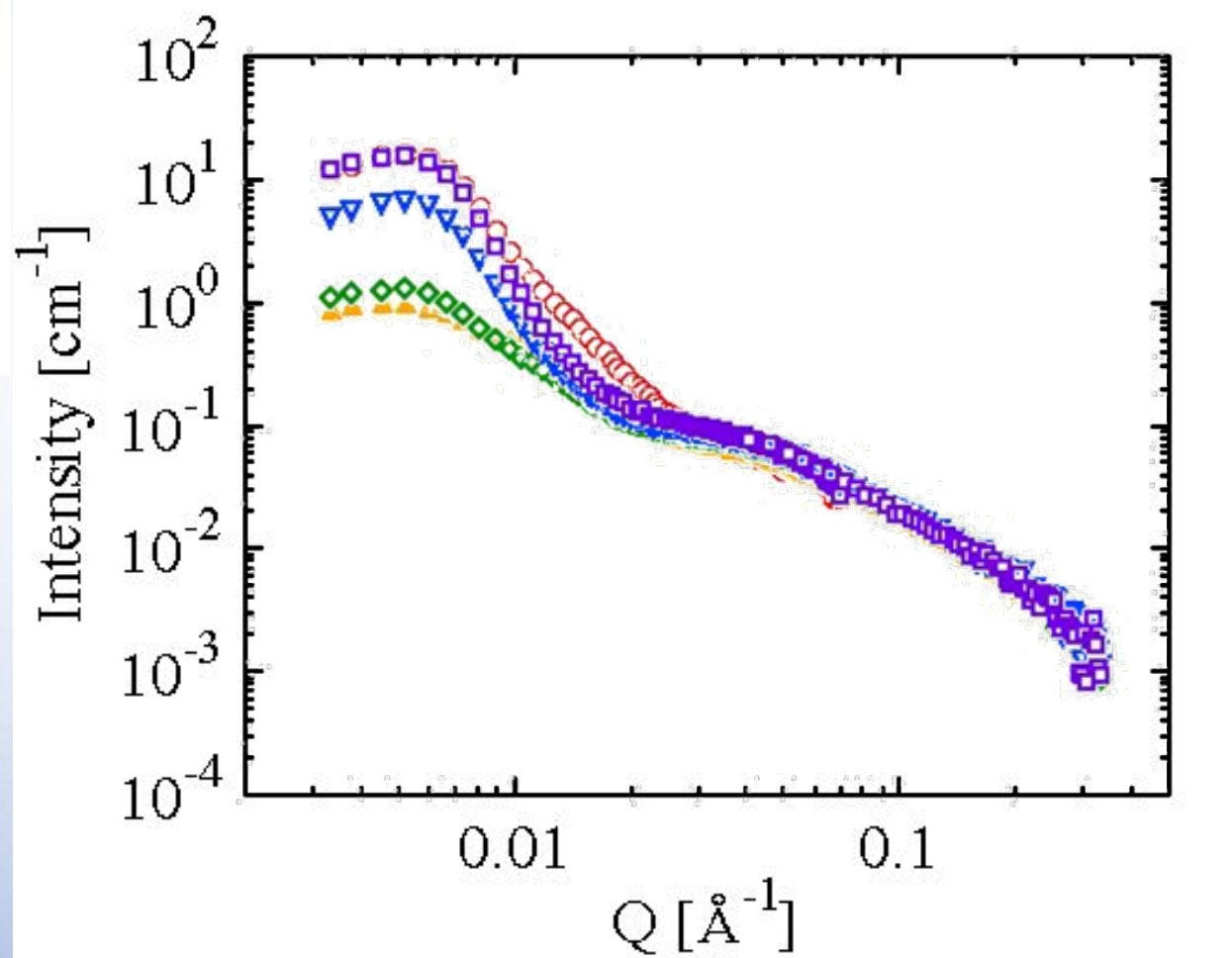
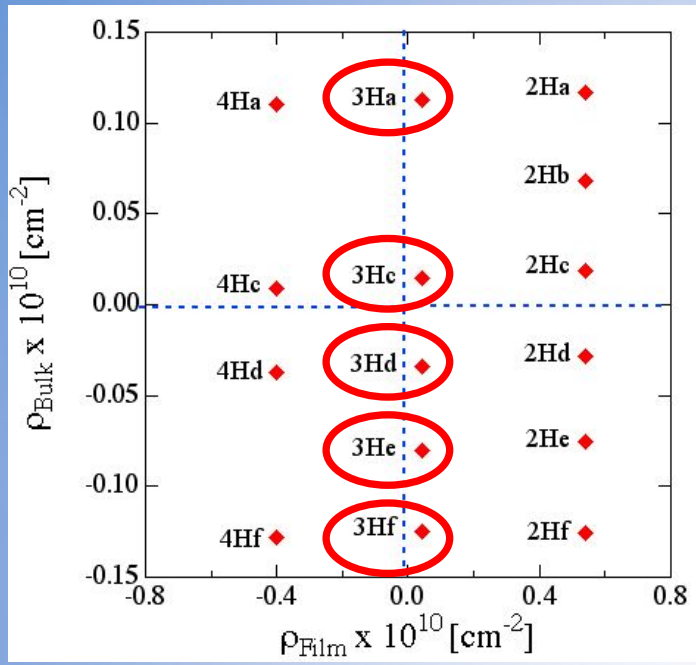




Difficulty : vastly different scattering intensities

Double Contrast Variation





Evaluation of Partial Scattering Functions

$$\begin{aligned} I(Q) = & (\rho_w - \rho_o)^2 S_{ww}(Q) + (\rho_f - \rho_o)^2 S_{ff}(Q) + (\rho_p - \rho_o)^2 S_{pp}(Q) \\ & + 2(\rho_w - \rho_o)(\rho_f - \rho_o)S_{wf}(Q) + 2(\rho_f - \rho_o)(\rho_p - \rho_o)S_{fp}(Q) \\ & + 2(\rho_p - \rho_o)(\rho_w - \rho_o)S_{pw}(Q) \end{aligned}$$

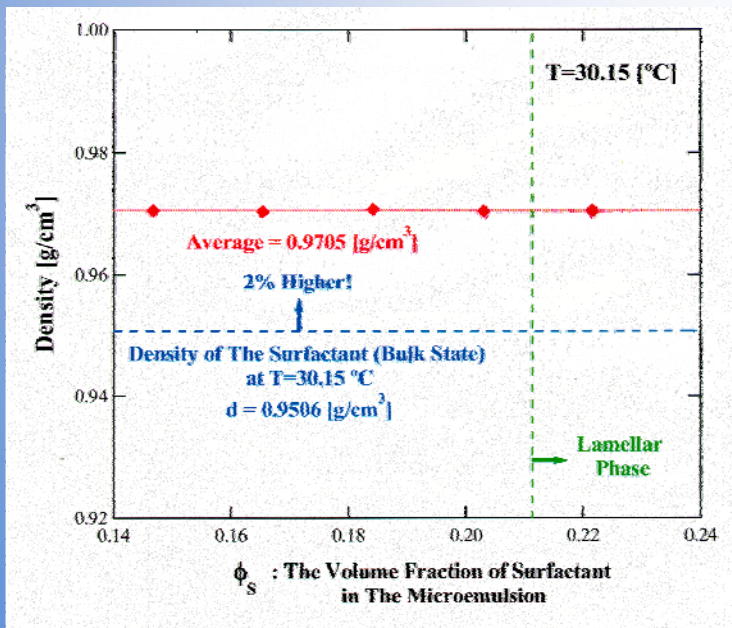
$$\begin{pmatrix} I_1(Q) \\ \vdots \\ I_i(Q) \end{pmatrix} = \begin{pmatrix} \Delta^1 \rho_w^2 & \Delta^1 \rho_f^2 & \Delta^1 \rho_p^2 & \Delta^1 \rho_w \Delta^1 \rho_f & \Delta^1 \rho_f \Delta^1 \rho_p & \Delta^1 \rho_p \Delta^1 \rho_w \\ \vdots & \vdots & \vdots & \vdots & \vdots & \vdots \\ \Delta^i \rho_w^2 & \Delta^i \rho_f^2 & \Delta^i \rho_p^2 & \Delta^i \rho_w \Delta^i \rho_f & \Delta^i \rho_f \Delta^i \rho_p & \Delta^i \rho_p \Delta^i \rho_w \end{pmatrix} \cdot \begin{pmatrix} S_{ww}(Q) \\ S_{ff}(Q) \\ S_{pp}(Q) \\ S_{wf}(Q) \\ S_{fp}(Q) \\ S_{pw}(Q) \end{pmatrix}$$

Contrasts must be known very precisely!

Determination of Scattering Length Densities

1. Measurement of partial density by precise densimeter

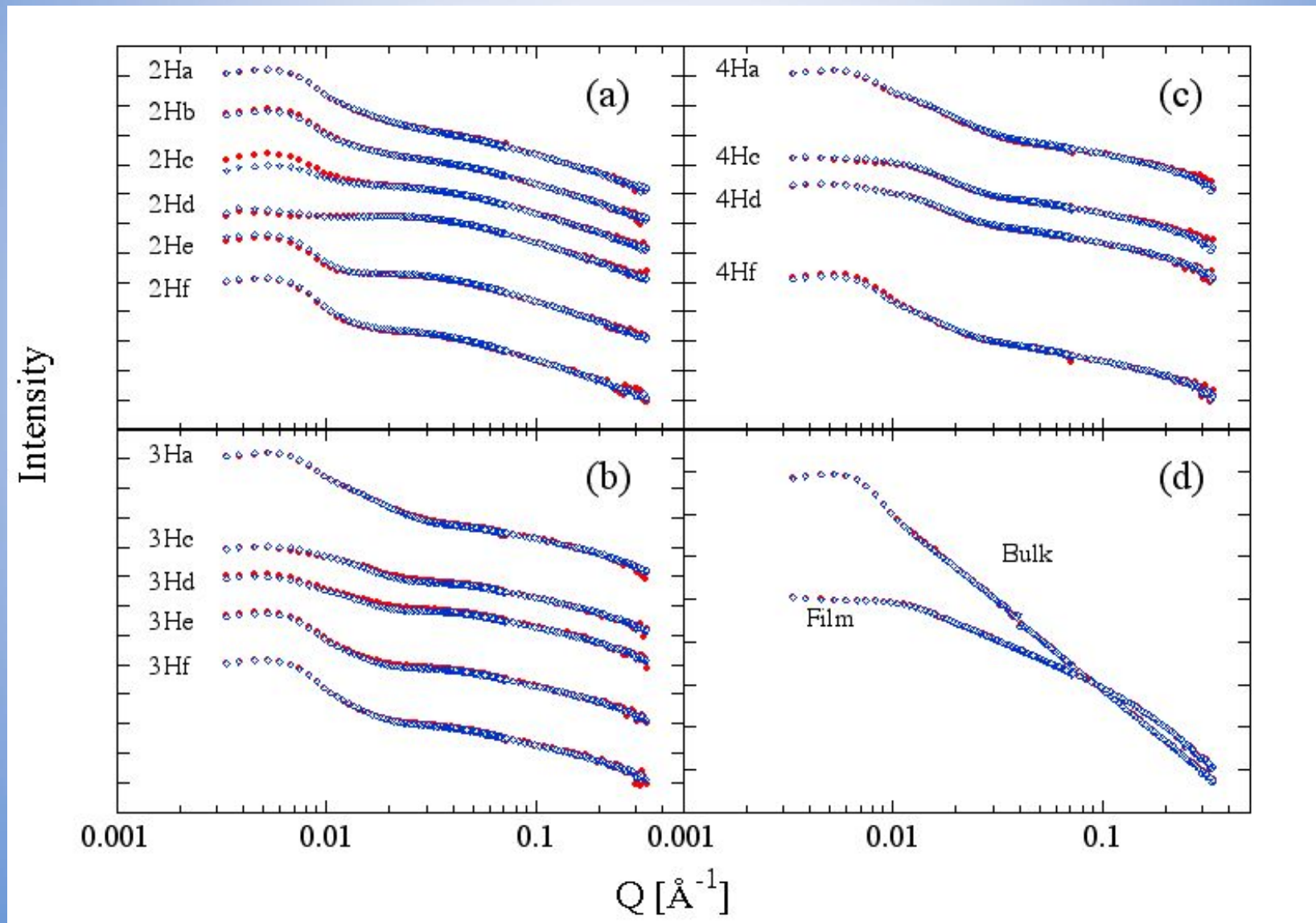
e.g. surfactant in microemulsion/
pure surfactant



2. Determination of exact degree of deuteration

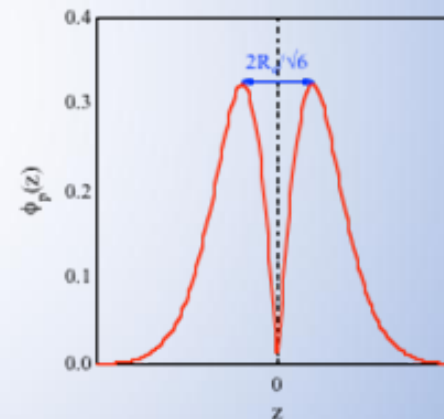
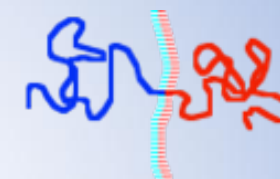
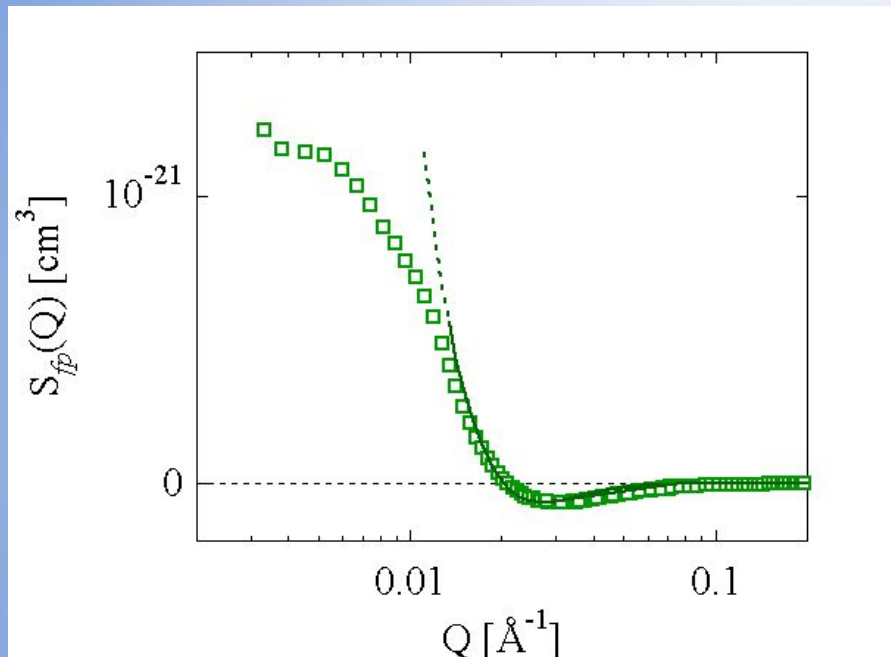
- PEO/PEP : fully protonated
- d-decane : 98.87% (NMR)
- d-water : 98.96%
contrast variation
- d-surfactant : 99.23% (NMR)

Experimental & Reconstructed Data



Partial Scattering Functions : S_{fp}

Mushroom conformation



$$S_{fp}(Q) = A_p(Q) \cdot A_f^*(Q)$$

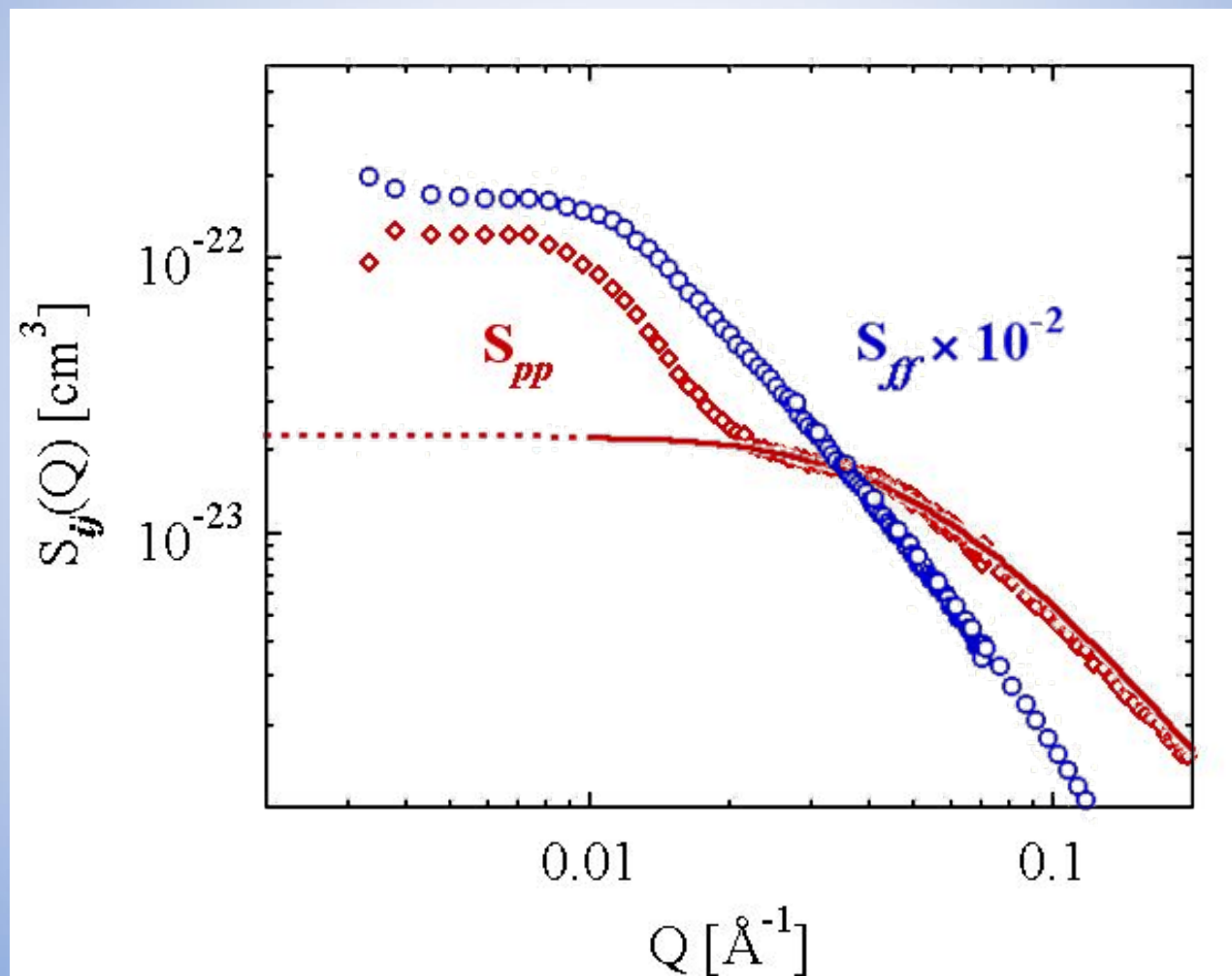
$\approx \text{Fourier}[f_p(z)] \cdot 1/Q^2$

$$\phi_p(z) = \frac{\sqrt{6\pi}}{R_e} \left[erfc\left(\frac{\sqrt{6}}{2} \frac{z}{R_e}\right) - erfc\left(\sqrt{6} \frac{z}{R_e}\right) \right]$$

E. Eisenriegler et al., JCP 77, (1982) 6296

Direct access to the polymer scattering amplitude!

Partial Scattering Functions : S_{pp}



How does the polymer work?



- > The polymers keeps mushroom conformation
- > Decoration of the film by the polymers

Stiffening of membrane by entropic springs makes large scale structure stable and thereby enhances the emulsification power

界面における高分子の微細構造解析2 ナノコンポジットゲル中の 高分子の吸着構造

ゲルとは？

物理ゲル



物理的な力(水素結合・疎水性相互作用・ファンデルワールス力etc.)で架橋したゲル。

水を良く吸うが、力学的に弱い

化学ゲル



化学結合で架橋したゲル。

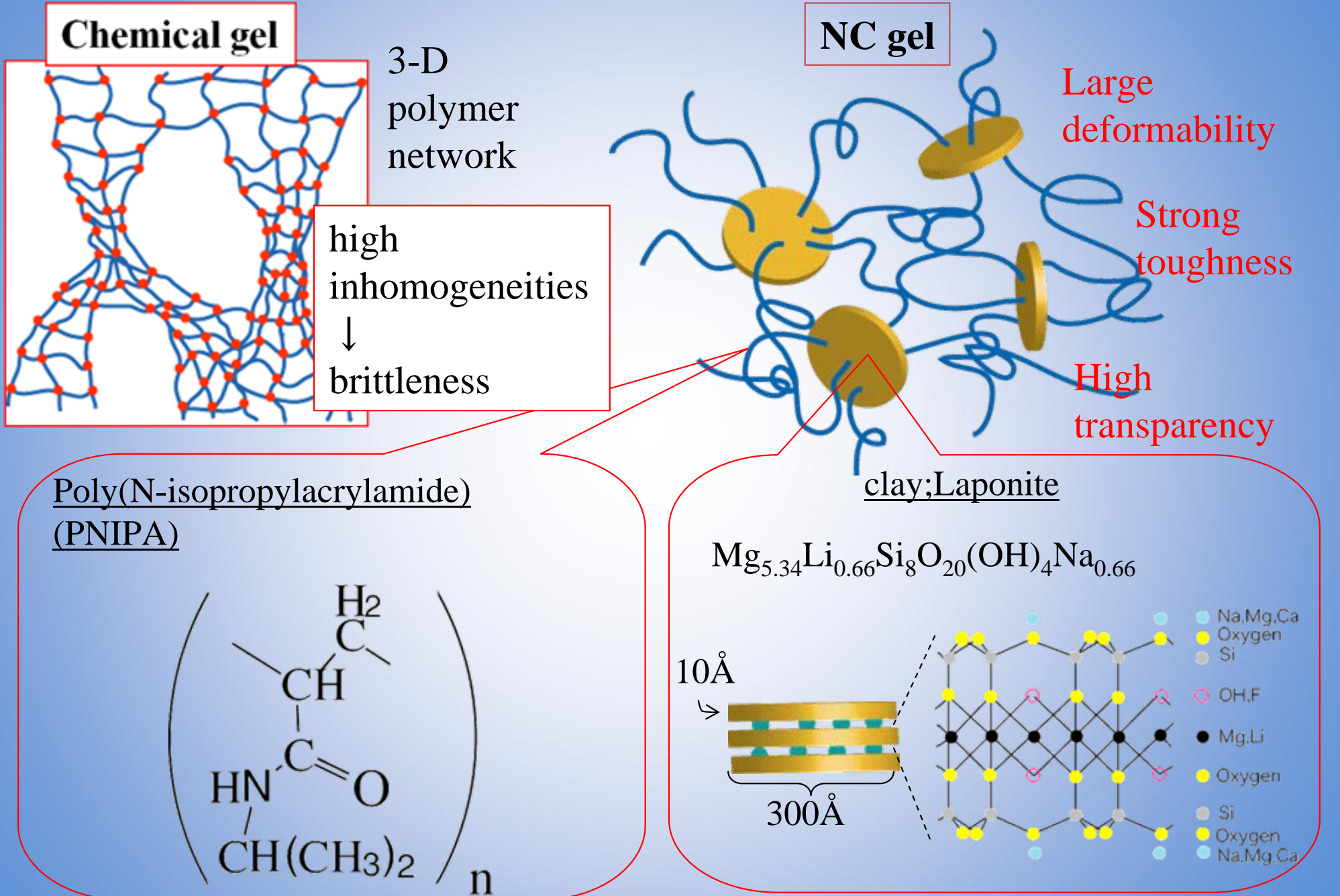
第3のゲル



- >> Slide-Ring Gel®
- >> ダブルネットワークゲル
- >> NCゲル
- >> テトラPEGゲル

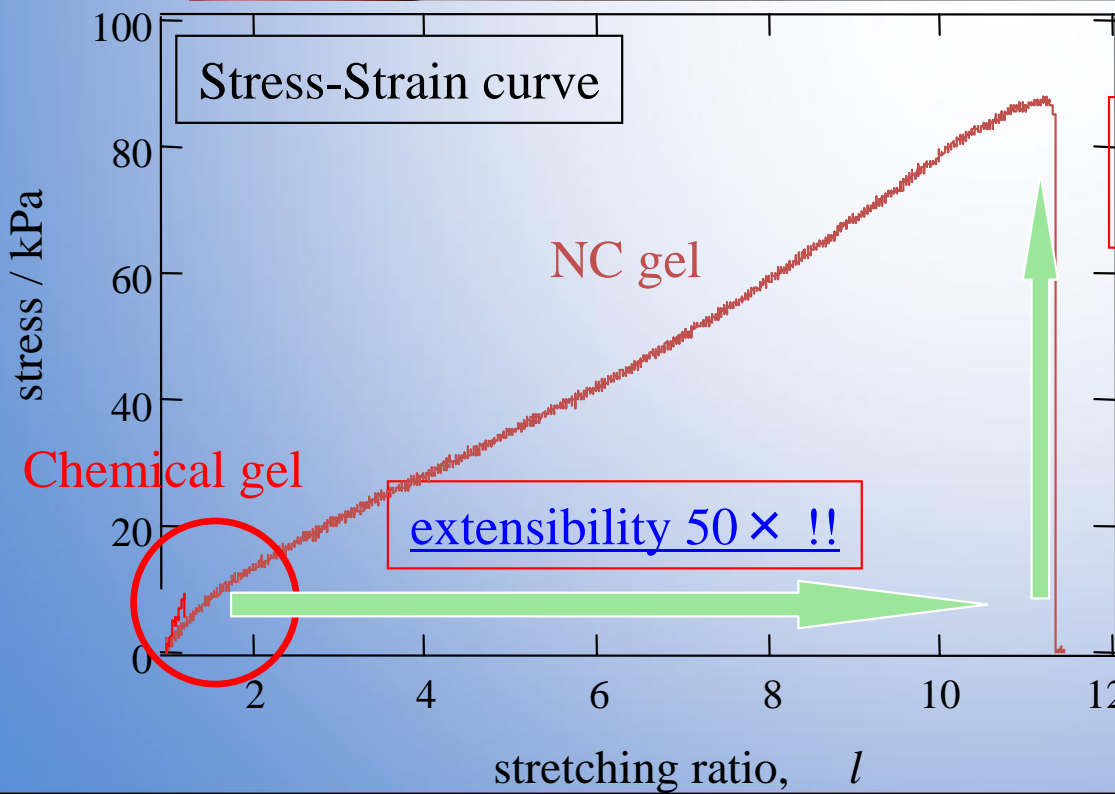
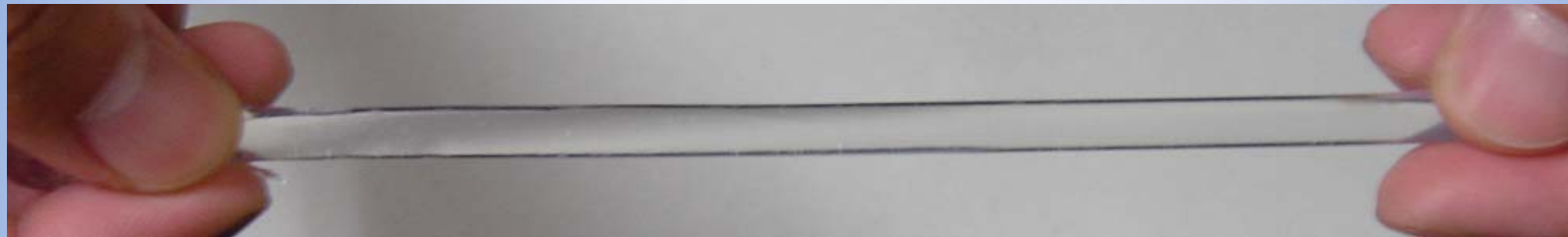
高強度・高圧縮・高延伸

What is NC gel?



Mechanical Property

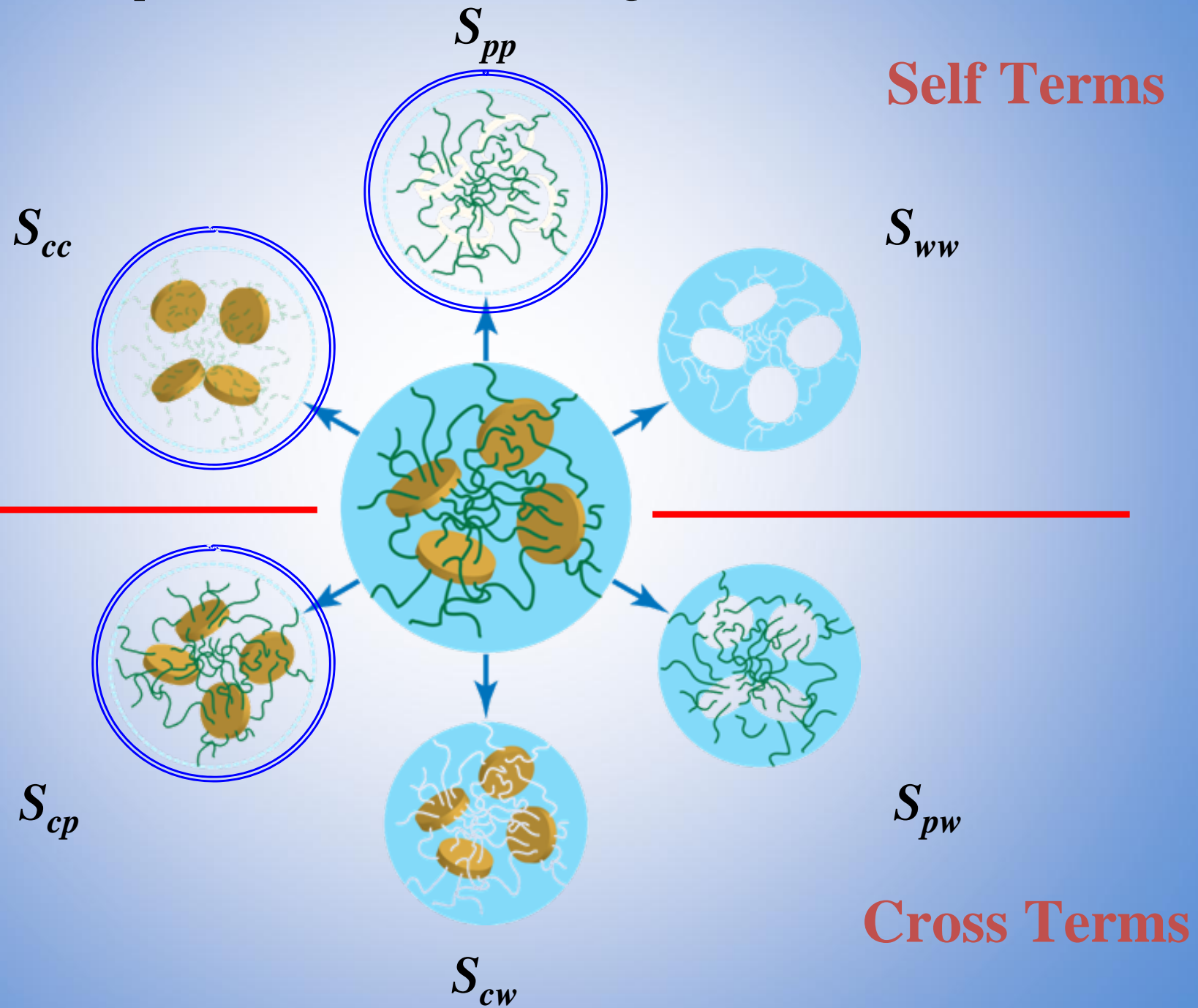
High extensibility and high flexibility



We investigated the microscopic structure of NC gel by SANS.

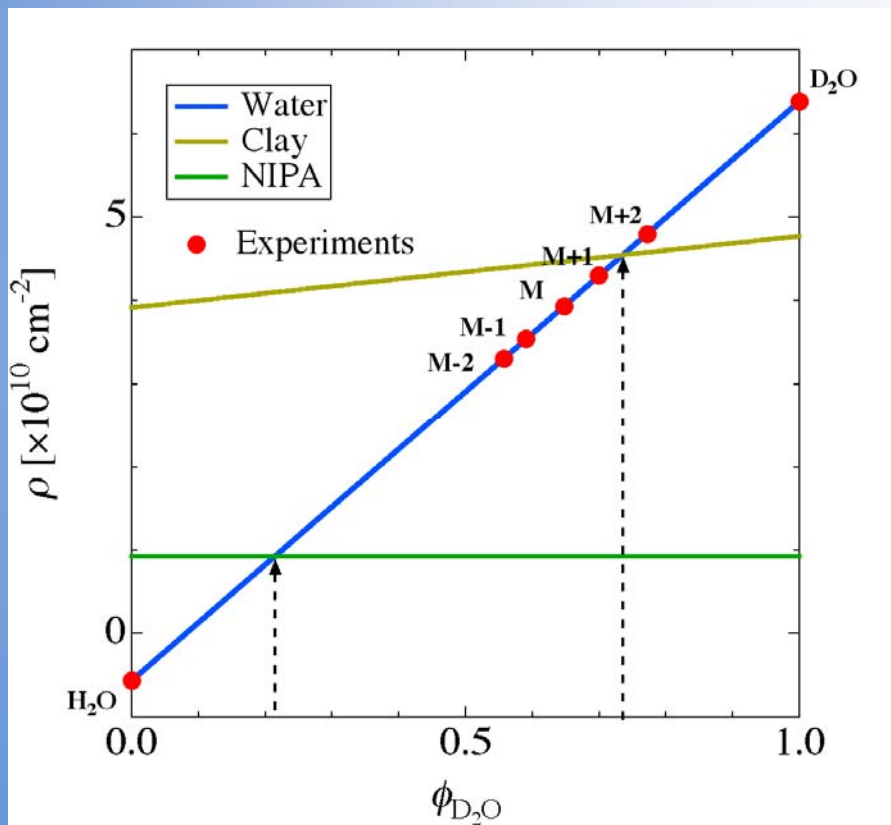
Contrast Variation

⇒ Decomposition into Partial Scattering Functions



Contrast Variation - Experiments

D₂O/H₂O Ratio and Scattering Contrast



Nanocomposite Gel

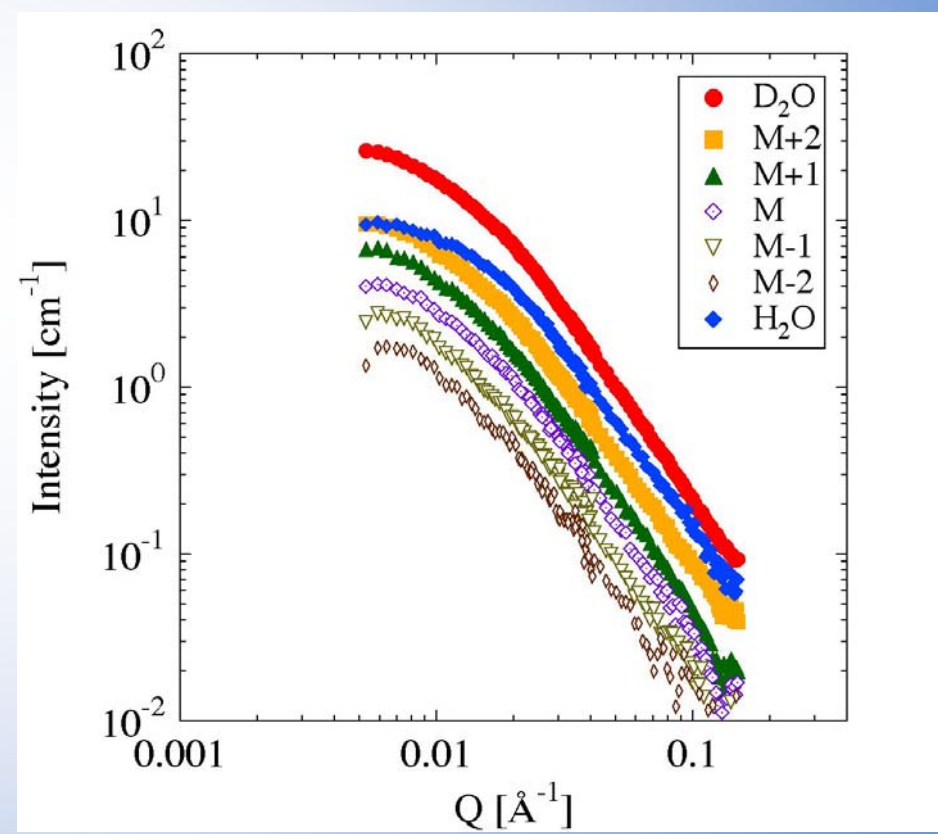
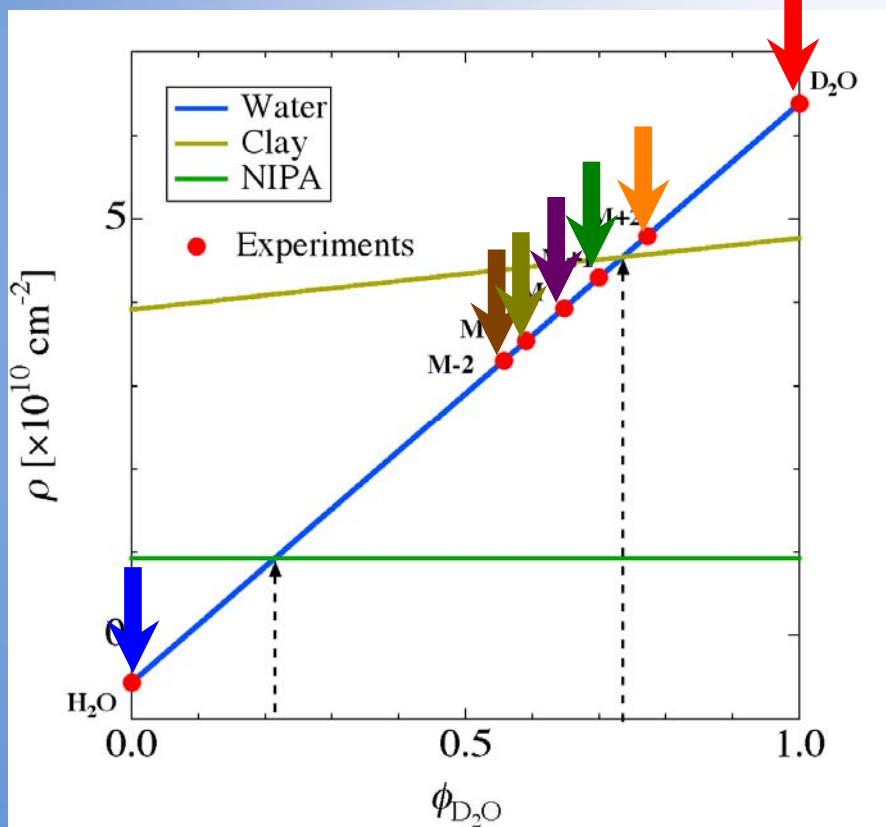
$$\phi_{Clay} = 0.013$$

$$\phi_{Polymer} = 0.042$$

Synthesized by means of Redox polymerization in aqua solution containing dispersion of the clay.

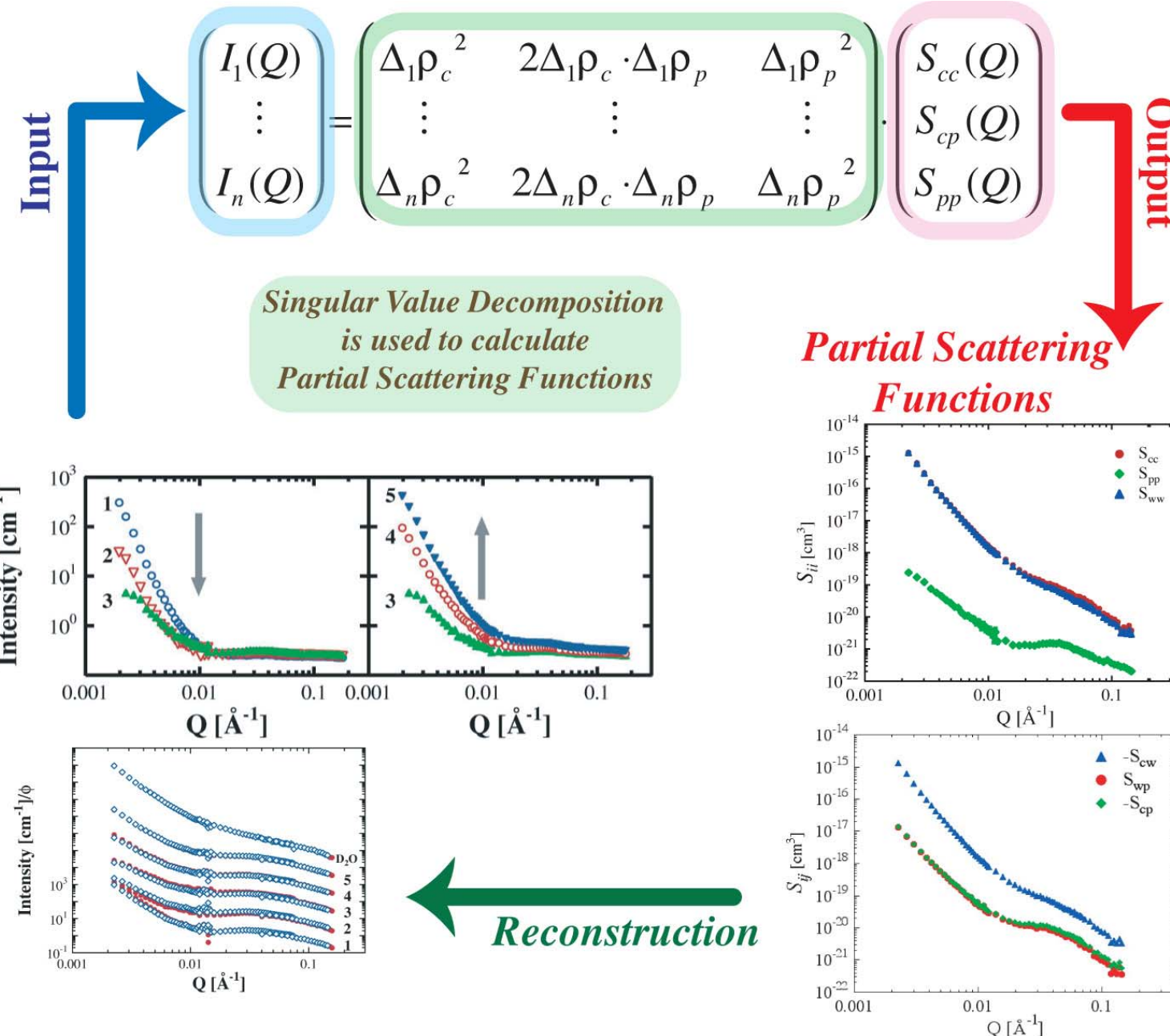
Contrast Variation - Experiments

D_2O/H_2O Ratio and
Scattering Contrast

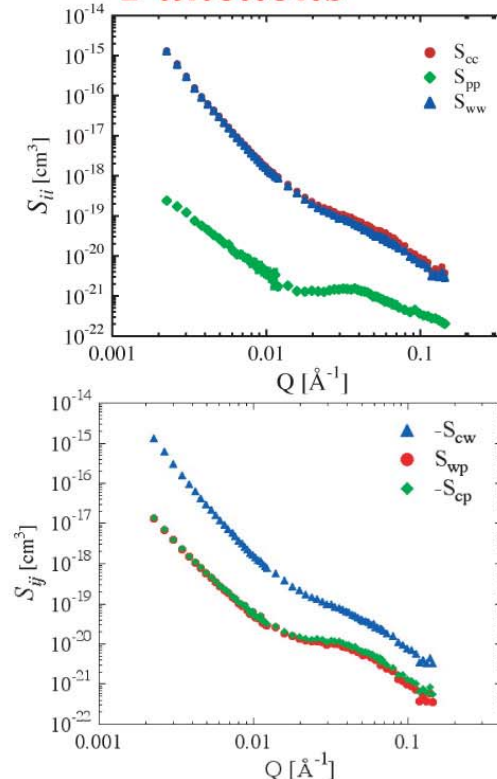


Scattering Intensities

Contrast Variation - Procedure

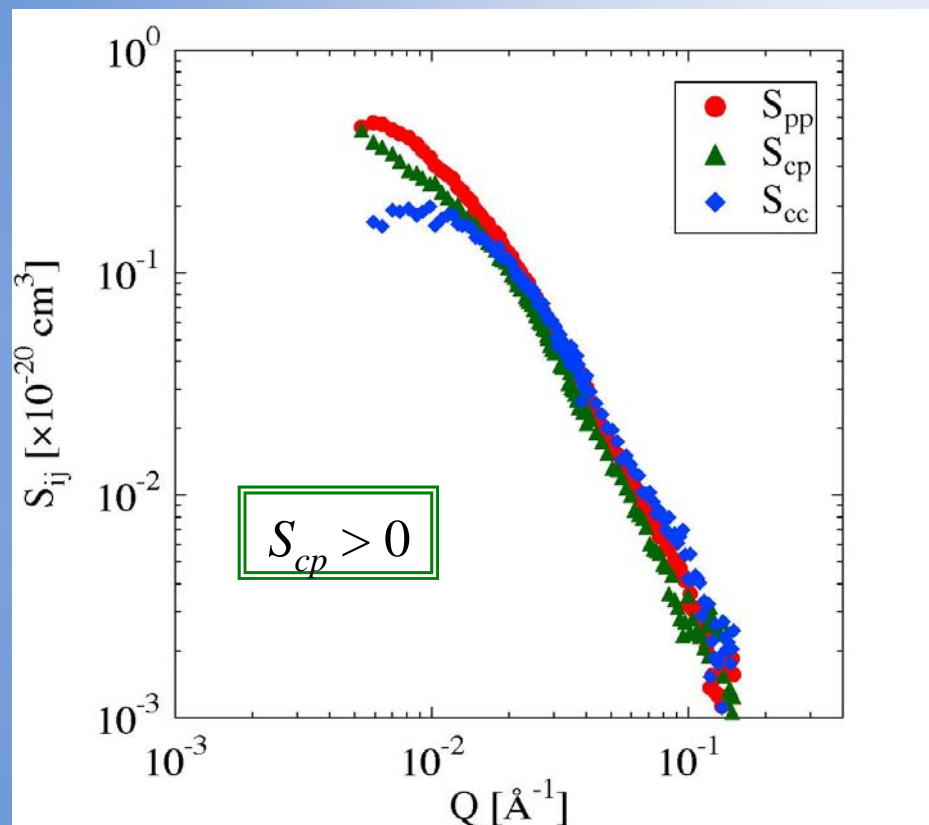


Partial Scattering Functions

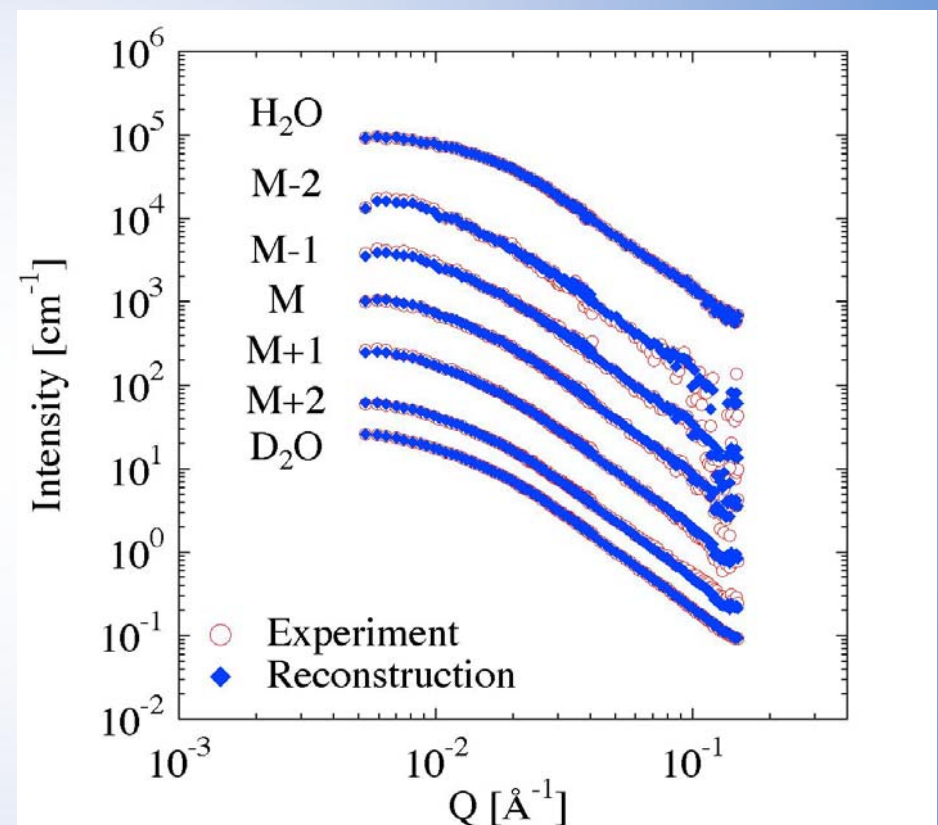


Reconstruction

Contrast Variation - Decomposition & Reconstruction



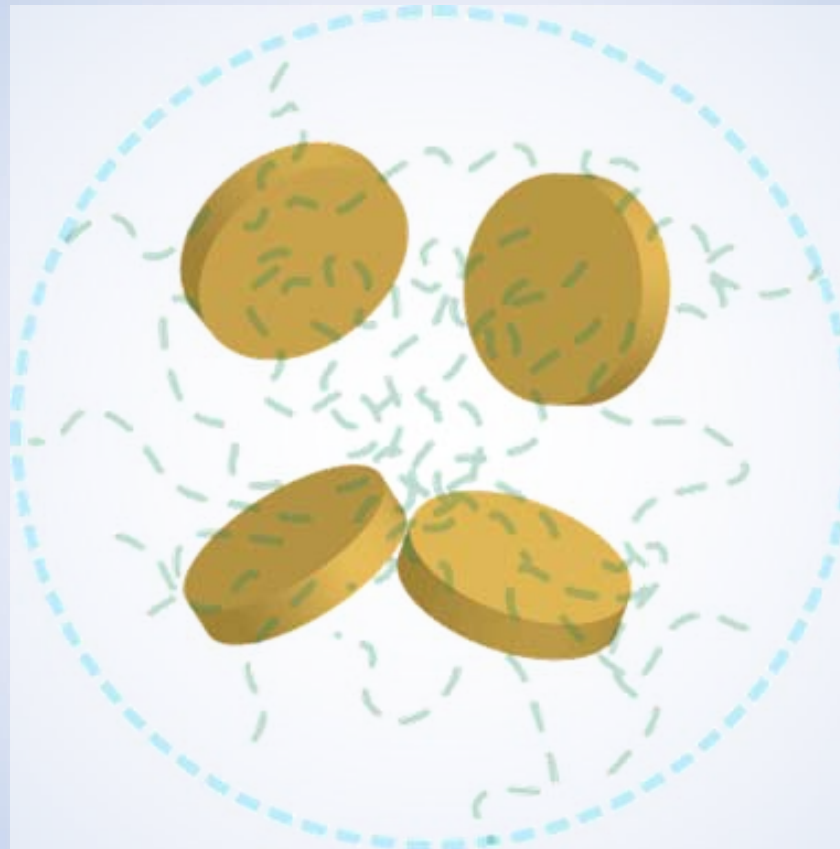
Decomposed Partial Scattering Functions



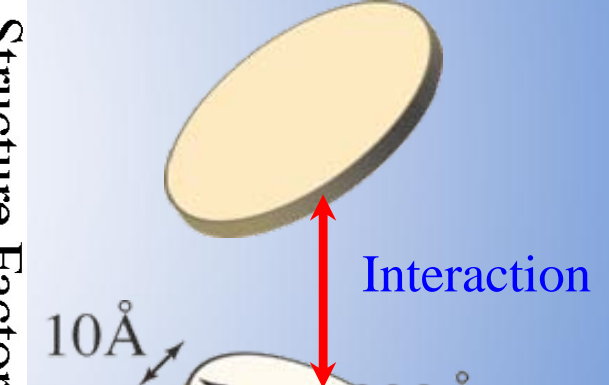
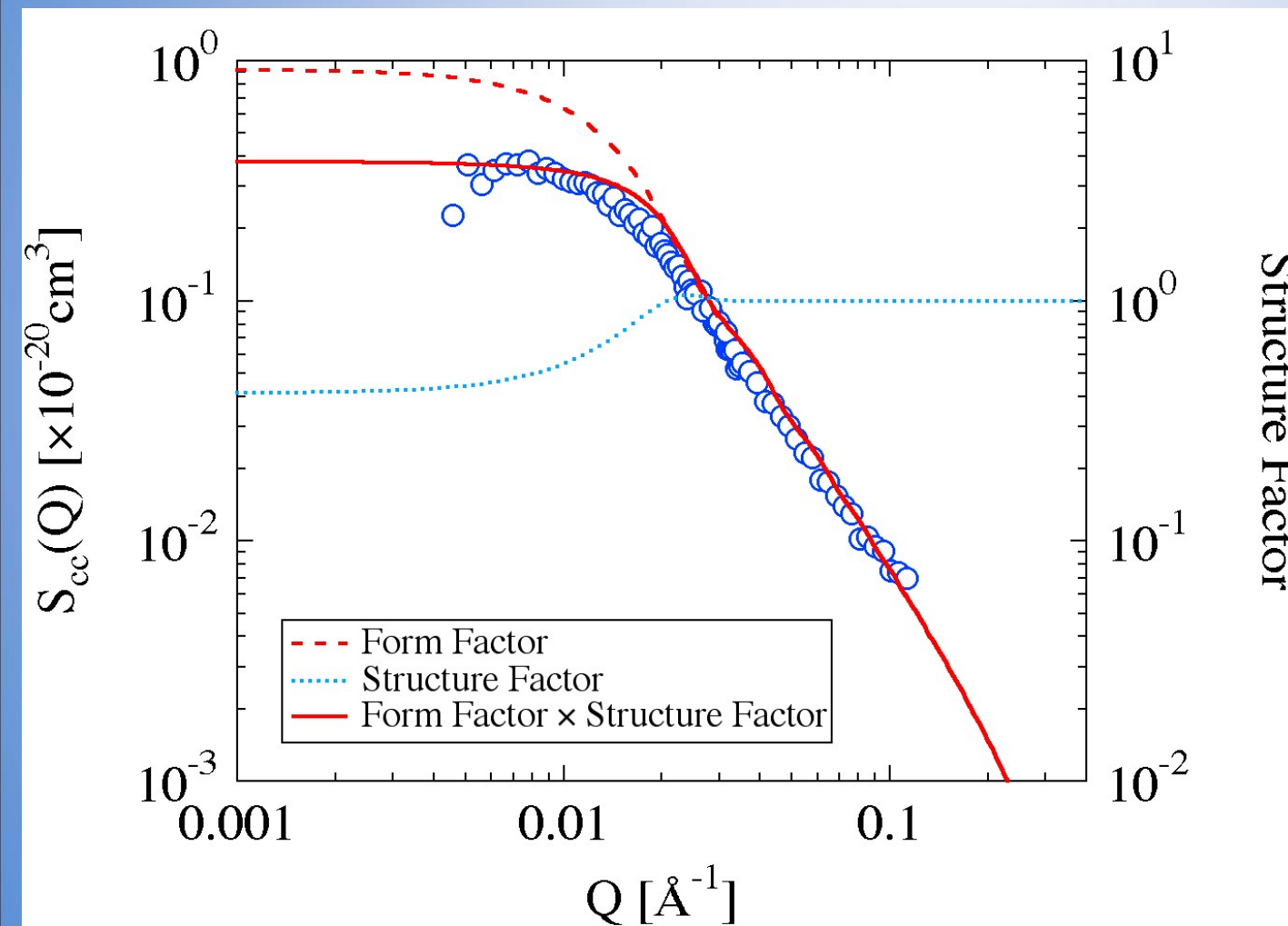
Comparison of Experimental Data with Reconstructed Data

Evaluation of Partial Scattering Function - S_{cc}

S_{cc}



Evaluation of Partial Scattering Function - S_{cc}



Scattering Function: S_{cc}

$$S_{cc}(Q) = n_c \cdot S_c(Q) \cdot P_c(Q)$$

Form Factor

$$P_c(Q) = \int_0^{\pi/2} \{A_c(Q)\}^2 \sin \theta d\theta$$

$$A_c(Q) = V_c \frac{2J_1(QR_c \sin \theta)}{QR_c \sin \theta} \frac{\sin(Qd_c \cos \theta / 2)}{Qd_c \cos \theta / 2}$$

Structure Factor

$$S_c(Q) = 1 + \frac{\langle A_c(Q) \rangle^2}{P_c(Q)} \cdot S(Q)$$

where

$$\langle A_c(Q) \rangle = \int_0^{\pi/2} A_c(Q) \sin \theta d\theta$$

$S(Q)$: Percus-Yevick Equation

Parameters

Fixed

n_c : Number Density of Clay

V_c : Volume of a Clay Platelet

R_c : Radius of a Clay Platelet

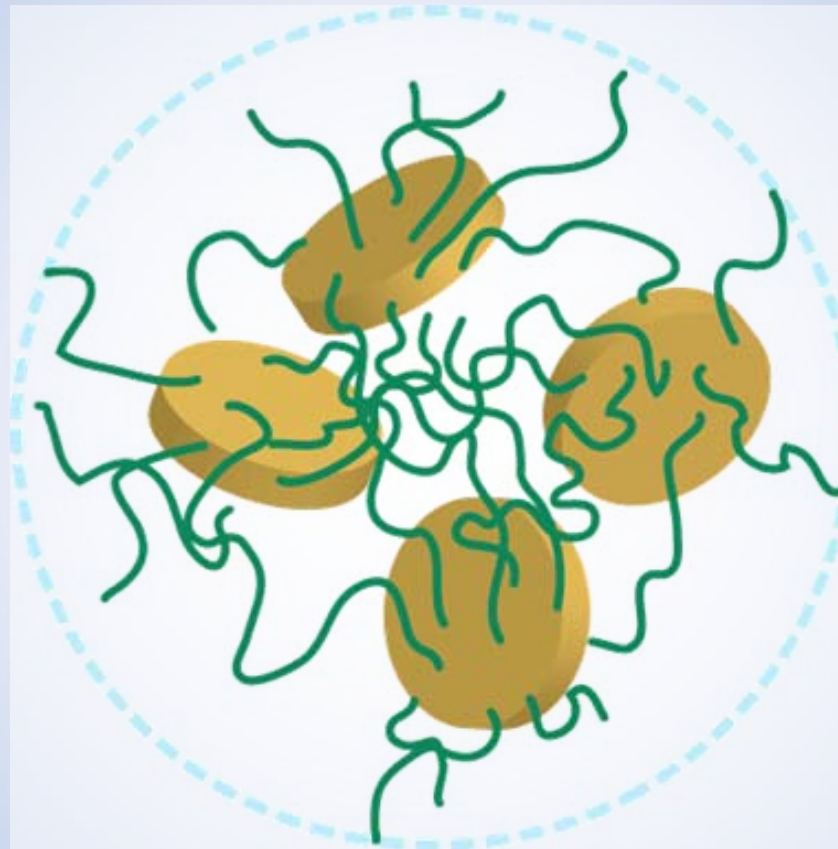
d_c : Thickness of a Clay Platelet

Fitting

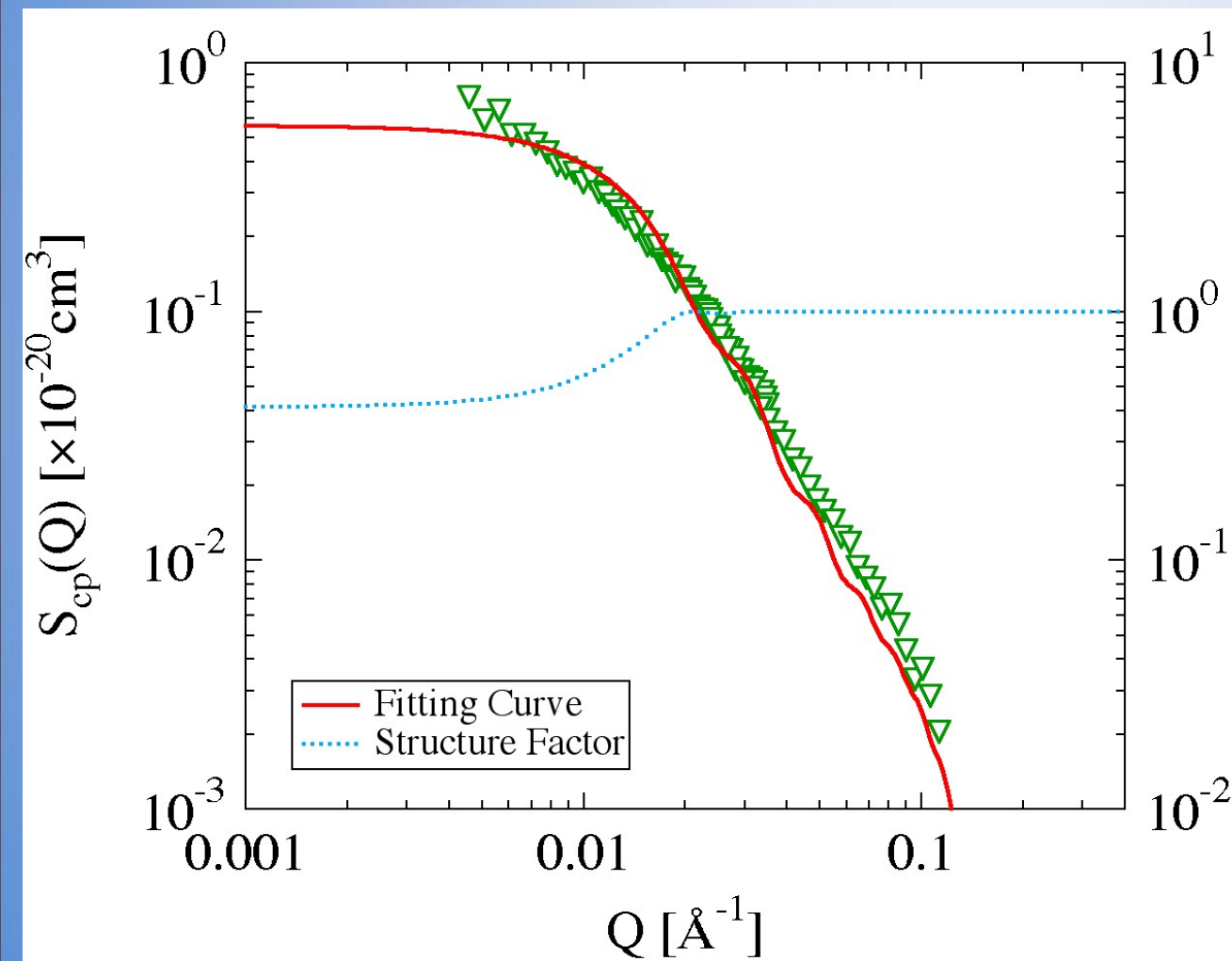
R_{PY} : Excluded Radius of a Clay Platelet determined by Percus-Yevick Eq.
($R_{PY} = 117 \text{ \AA}$ was obtained.)

Evaluation of Partial Scattering Function - S_{cp}

S_{cp}



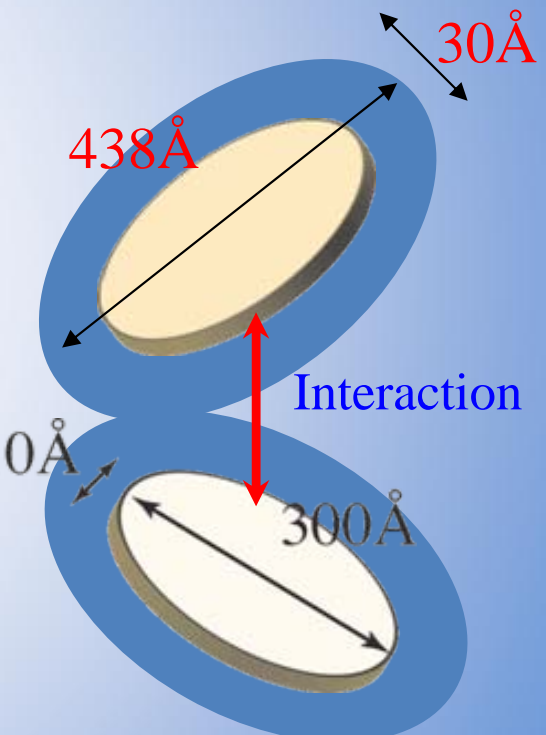
Evaluation of Partial Scattering Function - S_{cp}



$$\phi_{\text{Water}} = 0.65 \text{ (Local)}$$

Structure Factor

$$\Phi_{\text{Water}} = 0.95 \text{ (Overall)}$$



Scattering Function: S_{cp}

$$S_{cp}(Q) = n_c \cdot \left[\langle A_c(Q) \cdot A_p(Q) \rangle + \langle A_c(Q) \rangle \langle A_p(Q) \rangle \cdot \{S(Q)-1\} \right]$$

where

$$\langle A_c(Q) \cdot A_p(Q) \rangle = \int_0^{\pi/2} A_c(Q) \cdot A_p(Q) \sin \theta d\theta$$

$$\langle A_p(Q) \rangle = \int_0^{\pi/2} A_p(Q) \sin \theta d\theta$$

Scattering Amplitude for Polymer Layer

$$A_p(Q) = (\phi_{pl} - \phi_{pex}) V_p \cdot A_{p//}(Q \sin \theta) \cdot A_{p\perp}(Q \cos \theta) - \phi_{pl} V_c \cdot A_c(Q)$$

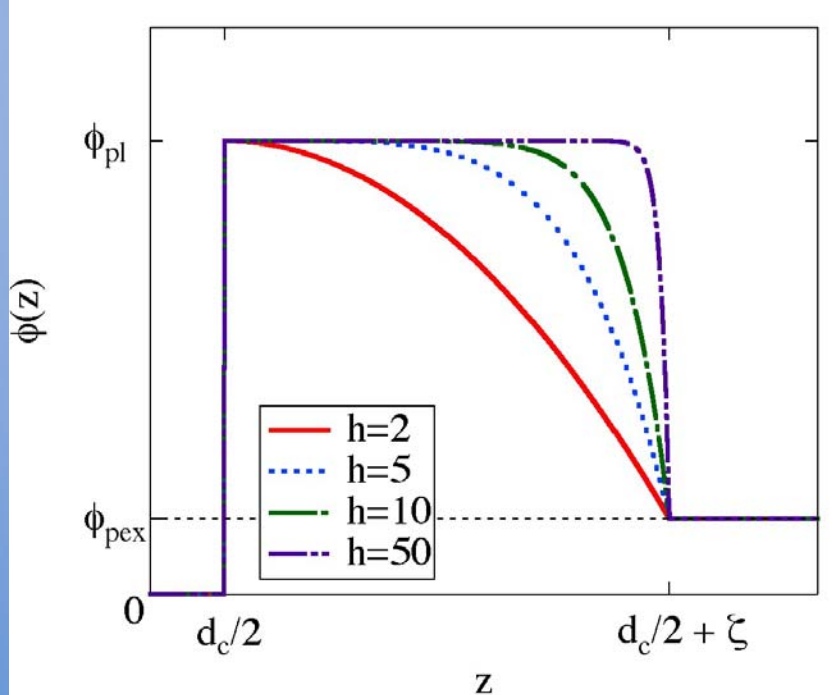
$$A_{p\perp}(Q) \propto \int_0^{\infty} \phi_z(z) \cos(Qz) dz$$

$$A_{p//}(Q) = \frac{2J_1(QR_p)}{QR_p}$$

Polymer Density Profile: $\phi_z(z)$

$$\phi_z(z) \propto 1 - \left(\frac{z}{\zeta}\right)^h \quad (0 \leq z \leq \zeta, 1 \leq h)$$

$h=2$ was predicted for end-grafted polymer chains by Milner et al.
[*Macromolecules* **21**, 2610-2619 (1988)]



Parameters

Fitting

$R_p = 219\text{\AA}$: Radius of a Polymer Layer

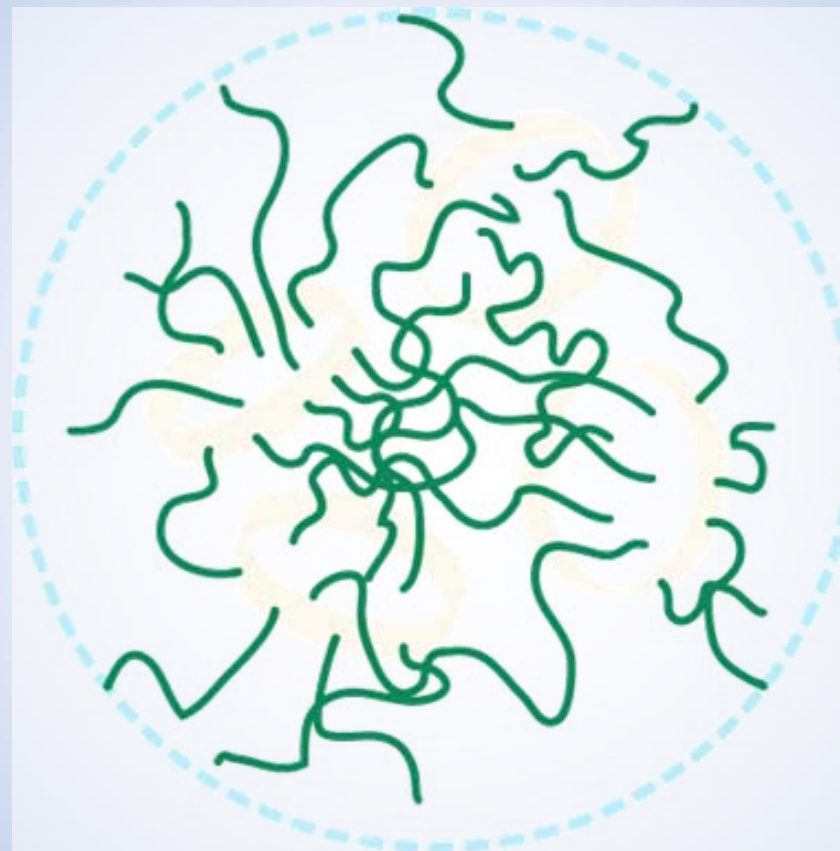
$z = 10\text{\AA}$: Thickness of a Polymer Layer

$h = 5.3$: Exponent for Polymer Density Profile

$f_{pl} = 0.35$: Volume Fraction of Polymers in the Layer

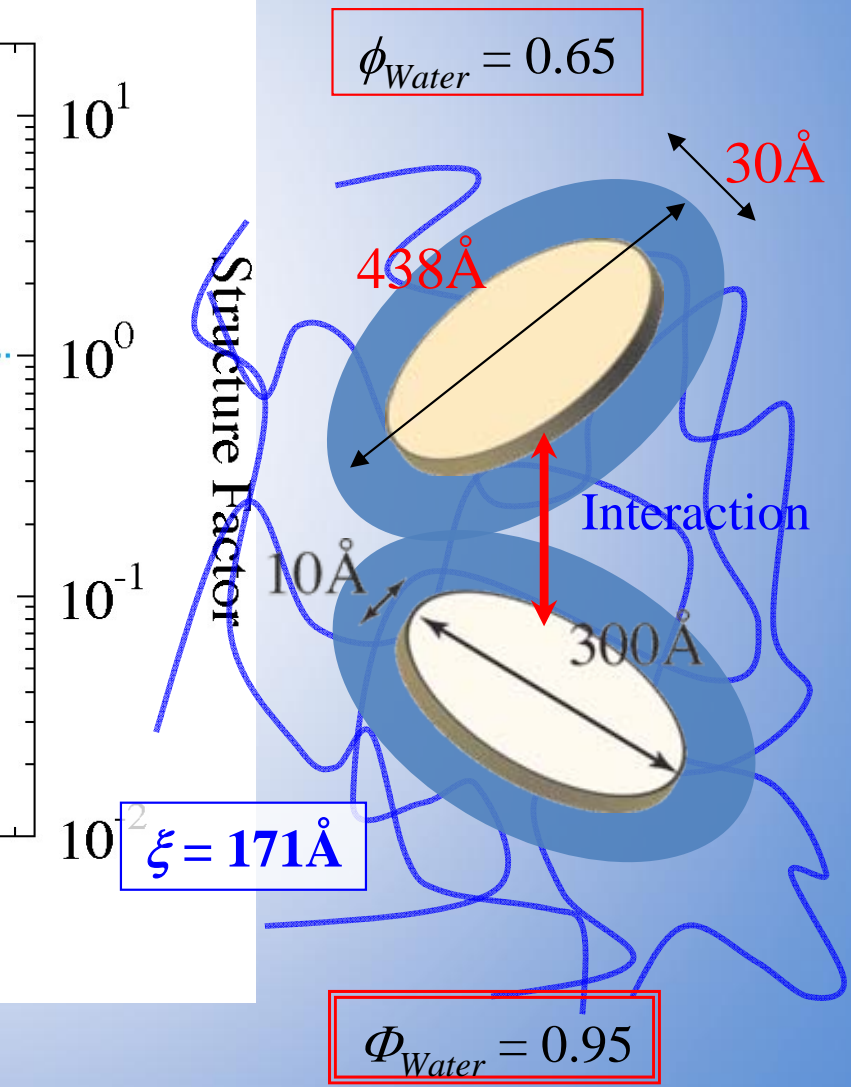
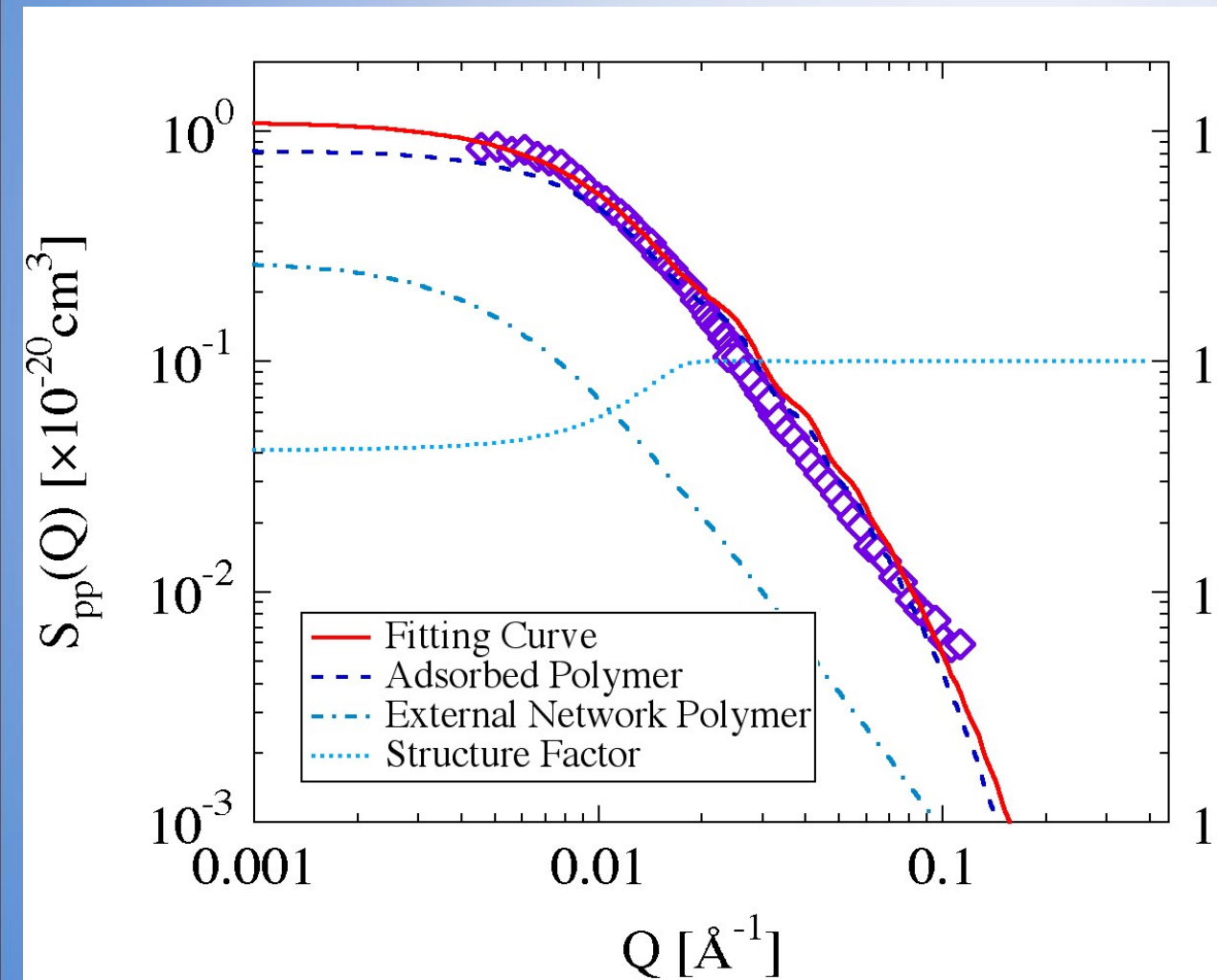
Evaluation of Partial Scattering Function - S_{pp}

S_{pp}



Evaluation of

Partial Scattering Function - S_{pp}



Scattering Function: S_{pp}

$$S_{pp}(Q) = n_c \cdot \left[\left\langle \{A_p(Q)\}^2 \right\rangle + \left\langle A_p(Q) \right\rangle^2 \cdot \{S(Q)-1\} \right] + \boxed{\frac{S_0}{1+Q^2\xi^2}}$$

where

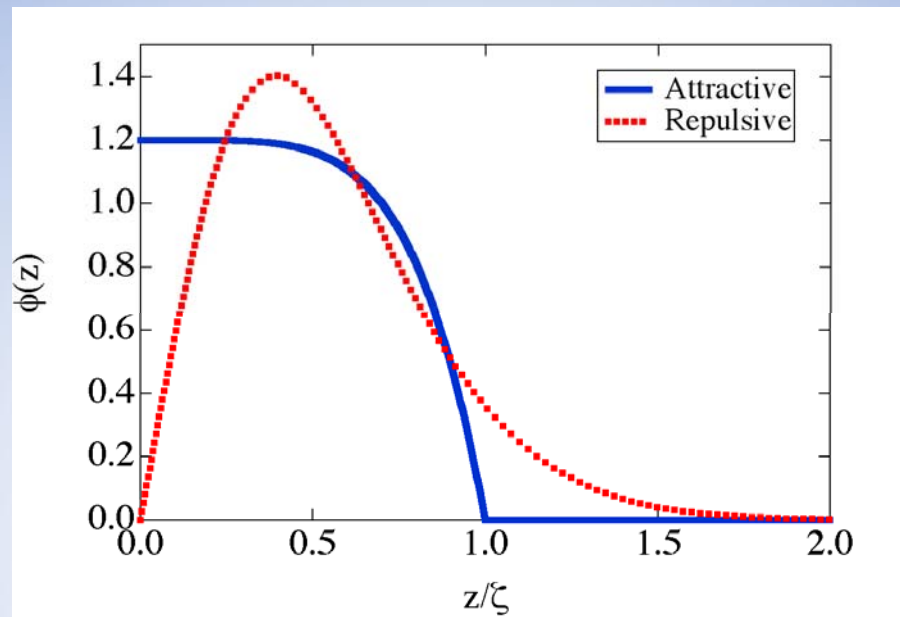
$$\left\langle \{A_p(Q)\}^2 \right\rangle = \int_0^{\pi/2} \{A_p(Q)\}^2 \sin \theta d\theta$$

無延伸状態のNCゲルのまとめ

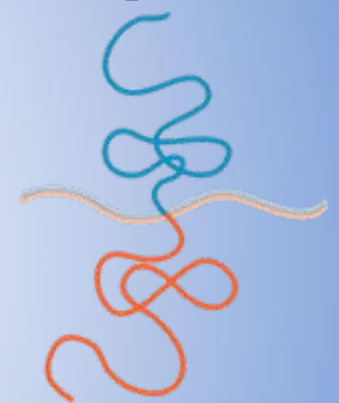
- >> S_{cc} からクレイナノ粒子が系内で均質に分散している事が確かめられた。
- >> $S_{cp} > 0$ であることから、クレイ粒子に高分子鎖が物理的(水素結合?)に吸着することで、クレイ粒子が二次元架橋剤として機能している事が実験的に確かめられた。
- >> NCゲル中の高分子鎖ネットワークの広がりが特異的に大きい事が S_{pp} から明らかとなった。

実空間プロファイル

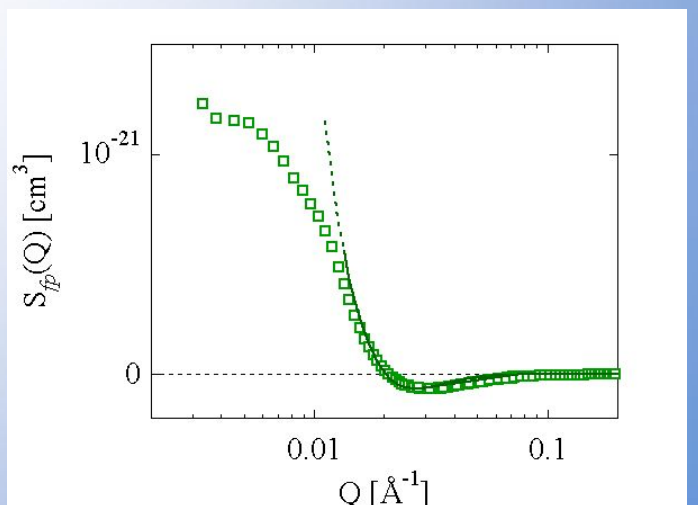
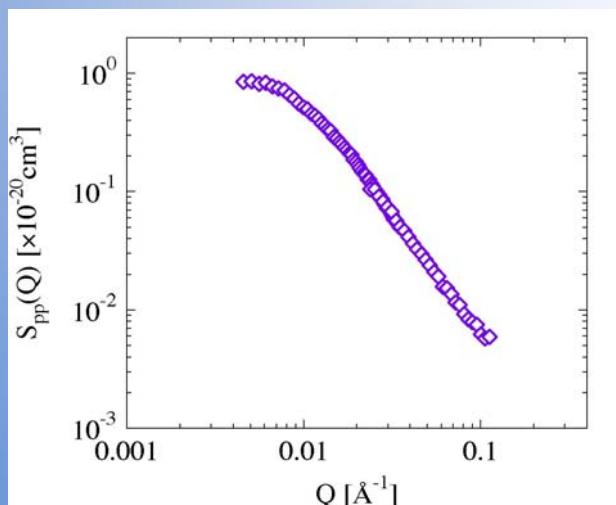
Attractive



Repulsive



逆空間プロファイル
(Cross Terms)



Cross Termを得る事で決定出来る。

コントラスト変調中性子小角散乱を用いた その他の多成分系の実験例

「バイオミネラリゼーション」 タンパク質－リン酸カルシウム複合系

"Structural dynamics of a colloidal protein-mineral complex bestowing on calcium phosphate a high solubility in biological fluids" *Biointerphases* **2**, 16-20 (2007).

高分子－炭酸カルシウム複合系

"On the role of block copolymer additives for calcium carbonate crystallization - SANS investigation by applying contrast variation" *Journal of Chemical Physics* **120**, 9410-9423 (2004).

「ナノコンポジット」 高分子－シリカ粒子系

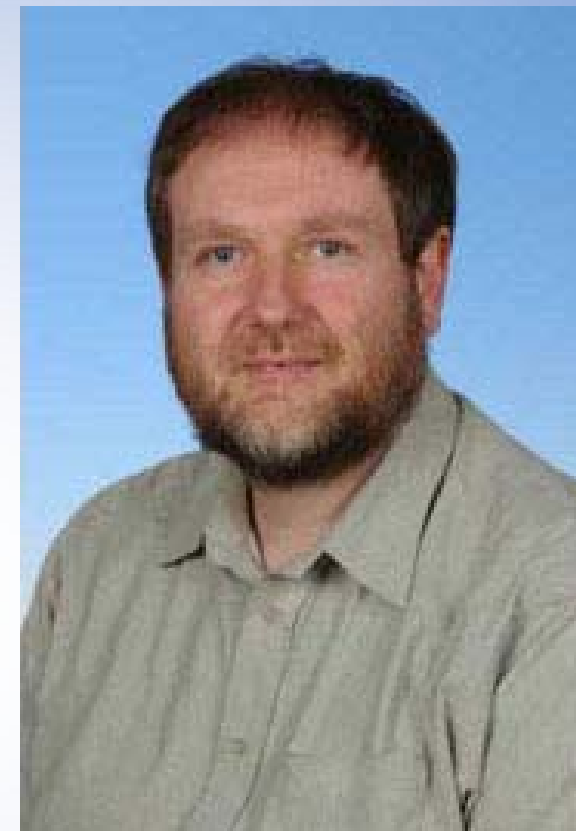
"Analysis of surface structure and hydrogen/deuterium exchange of colloidal silica suspension by contrast-variation small-angle neutron scattering" *Langmuir* **24**, 4537-4543 (2007).

「多成分系レオロジー」 ナノコンポジットゲルの延伸下におけるコントラスト変調実験

"Deformation mechanism of nanocomposite gels studied by contrast variation small-angle neutron scattering" *Physical Review E* **80**, 030801(R) 1-4 (2009).

「超分子構造」 ポリロタキサンの構造解析

"Mechanically Interlocked Structure of Polyrotaxane Investigated by Contrast Variation Small-Angle Neutron Scattering" *Macromolecules* **42**, 6327-6329 (2009).



Professor Dr. Dieter Richter & Dr. Michael Monkenbusch

at *FZ-Jülich*

